

บทที่ 4 ผลการทดสอบและการอภิปรายผลการทดสอบ

4.1 บทนำ

ในบทนี้จะอธิบายถึงการทดสอบคุณสมบัติทางวิศวกรรมของแอสฟัลต์คอนกรีตใส่สารผสมเพิ่ม โดยกล่าวถึงการให้แรงกระทำอย่างต่อเนื่องและให้แรงกระทำซ้ำเพื่อหาโมดูลัสอีลาสติคสมมูลย์และอัตราส่วนของบิวของสมมูลย์ของแอสฟัลต์คอนกรีตผสมเศษยางรถยนต์ (Crumb rubber asphalt, CRA) และแอสฟัลต์คอนกรีตผสมเศษยางพารา (Natural rubber asphalt, NRA) ส่วนสุดท้ายของงานวิจัยจะนำค่าจากการทดสอบมาเปรียบเทียบทางด้านเศรษฐศาสตร์

4.2 ผลการทดสอบแอสฟัลต์ใส่สารผสมเพิ่ม

4.2.1 ผลการทดสอบ Penetration

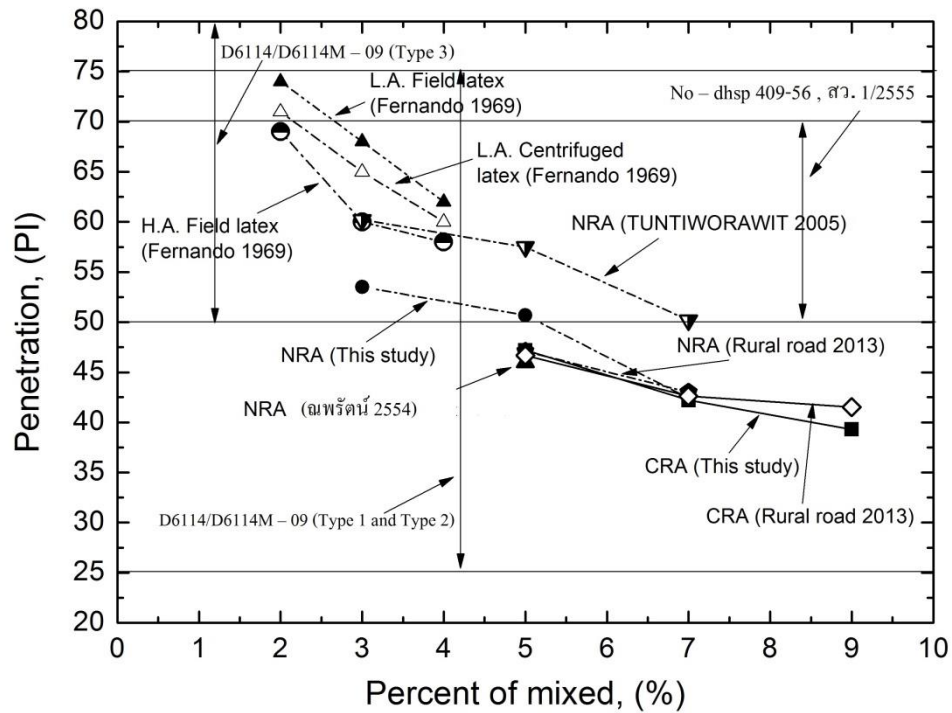
การทดสอบความต้านทานการเจาะทะลุของบิทูมินัสเป็นการวัดความชันเหลวของยางมะตอยเชิงประจักษ์ซึ่งเป็นวิธีดั้งเดิมใช้แบ่งยางมะตอยออกเป็นเกรดมาตรฐานหลายเกรดโดยใช้น้ำหนักเข็ม 100 กรัมปล่อยให้จมลงในยางมะตอย 5 วินาทีแล้ววัดค่าการเจาะทะลุ ความลึกที่เข็มเจาะลงไปภายในยางมะตอยให้วัดในหน่วยเพ็น (pen) หรือ 0.1 มม. คือค่าการเจาะลึก (Penetration) ใช้มาตรฐานการทดสอบ ASTM D 5-94 AASHTO T 49-84 และ มอก.1201-2536

ตารางที่ 4.1 ผลการทดสอบ Penetration

	AC 60/70	AC 60/70 ผสมยางพารา 3 %	AC 60/70 ผสมยางพารา 5 %	AC 60/70 ผสมยางพารา 7 %	AC 60/70 ผสมเศษยาง รถยนต์ 5 %	AC 60/70 ผสมเศษยาง รถยนต์ 7 %	AC 60/70 ผสมเศษยาง รถยนต์ 9 %
Penetration	64	53.5	50.7	42.4	47.2	42.4	39.3

จากตารางที่ 4.1 สามารถสรุปได้ว่าค่าความต้านทานการเจาะทะลุของบิทูมินัสที่ใส่สารผสมเพิ่มทำให้แอสฟัลต์ AC 60/70 มีค่าความต้านทานการเจาะทะลุที่น้อยลงตามเปอร์เซ็นต์การใส่สารผสมเพิ่ม (กรมทางหลวงชนบท 2013) การเปลี่ยนแปลงค่าเพนิเทรชันจะลดน้อยลง (จิราภรณ์ ทองศรีนุ่น, 2555) และสอดคล้องกับผลการทดสอบของ Nuha et al. (2011) และ Peiliang et al. (2013) ที่ได้ทำการทดสอบแล้วพบว่าค่า Penetration ลดลงตามเปอร์เซ็นต์การใส่เศษยางรถยนต์ และเมื่อเปรียบเทียบค่าผลการ

ทดสอบกับผลการทดสอบของ (กรมทางหลวงชนบท, 2013; ณพรัตน์ วิจิตรชัชชัย, 2554; Fernando และ Nadara, 1969) และข้อกำหนดพิเศษที่ สว.1/2555 ดังรูปที่ 4.1



รูปที่ 4.1 เปรียบเทียบค่า Penetration ประเภทต่างๆ

จากรูปที่ 4.1 สามารถสรุปได้ว่าค่าความต้านทานการเจาะทะลุจากการทดสอบนี้มีค่าใกล้เคียงกับผลการทดสอบของสถาบันวิจัยยางและผลการทดสอบของกรมทางหลวงชนบทยกเว้นค่าแอสฟัลต์คอนกรีตผสมเศษยางพาราที่ 5% ซึ่งสอดคล้องกับผลการทดสอบจุดอ่อนตัวที่ได้ค่าที่แตกต่างกันแต่ค่ายังอยู่ในเกณฑ์มาตรฐานและเมื่อเปรียบเทียบกับของ Fernando และ Nadara (1969) ผลปรากฏว่าค่าของ Fernando และ Nadara (1969) มีค่าที่มากกว่าเหตุผลเพราะตัวอย่างของ Fernando และ Nadara (1969) ใช้เกรด 80/100 และผสมที่อุณหภูมิ 150 – 163 องศาเซลเซียสโดยใช้น้ำยางข้นปั่นกวนชนิดแอมโมเนียมากและปั่นกวนชนิดแอมโมเนียน้อย (Fernando และ Nadara, 1969) และเทียบกับของ Tuntiworawit et al. (2005) พบว่าค่ามีลักษณะที่ลดลงแบบเดียวกัน ด้านการเปรียบเทียบค่าความต้านทานการเจาะทะลุกับมาตรฐานของ AC 60/70 พบว่าผ่านมาตรฐานของ No - dhsp 401-31 ด้านค่าของ AC 60/70 ผสมยางพาราที่ 5 % ผ่านมาตรฐานของ No - dhsp 409-56 และค่า AC 60/70 ผสมเศษยางรถยนต์ที่ 5 %, 7 % และ 9 % ผ่านมาตรฐานของ ASTM (D6114/D6114M - 09) ประเภท Type 1

และ Type 2 การแบ่งประเภทของมาตรฐานคือแบ่งตามสภาพภูมิอากาศกล่าวคือ Type 1 เหมาะกับใช้ในพื้นที่สภาพอากาศร้อนอุณหภูมิเฉลี่ยสูงสุด 43°C หรือมากกว่านั้นส่วน Type 2 จะมีความอ่อนตัวมากกว่า Type 1 อุณหภูมิเฉลี่ยสูงสุดไม่เกิน 43°C หรือน้อยกว่านั้นและ Type 3 มีความอ่อนตัวมากที่สุดเหมาะสมที่ไปใช้ในสภาพอากาศหนาวอุณหภูมิเฉลี่ยสูงสุดไม่เกิน 27°C หรือน้อยกว่านั้น (ASTM D6114/D6114M – 09)

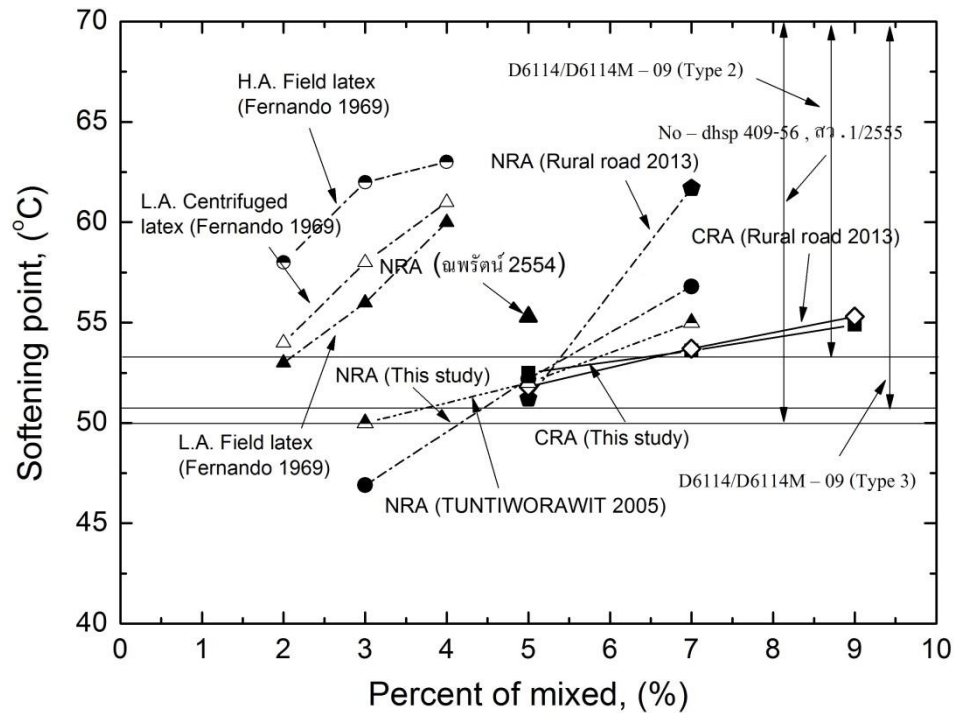
4.2.2 ผลการทดสอบจุดอ่อนตัวของแอสฟัลต์ (Softening point)

การทดสอบจุดอ่อนตัวของวัสดุบิตูเม้นต์โดยใช้เครื่องมือ Ring and ball จุ่มในน้ำกลั่นแล้วนำลูกเหล็กมาวางไว้บนตัวอย่างจากนั้นเริ่มให้ความร้อนจนลูกเหล็กเคลื่อนลงมาที่ระยะทาง 25 มม. จุดอ่อนตัวหมายถึงอุณหภูมิที่วัสดุบิตูเม้นต์อ่อนตัวถึงระดับที่กำหนดภายใต้ภาวะทดสอบมาตรฐาน ใช้มาตรฐานการทดสอบ ASTM D 36-86 (Reapproved 1989) AASHTO T 53-84 และมอก. 1216-2537

ตารางที่ 4.2 ผลการทดสอบจุดอ่อนตัว

	AC 60/70	AC 60/70 ผสมยางพารา 3 %	AC 60/70 ผสมยางพารา 5 %	AC 60/70 ผสมยางพารา 7 %	AC 60/70 ผสมเศษยาง รถยนต์ 5 %	AC 60/70 ผสมเศษยาง รถยนต์ 7 %	AC 60/70 ผสมเศษยาง รถยนต์ 9 %
จุดอ่อนตัว ($^{\circ}\text{C}$)	42.9	46.9	52.2	56.8	52.5	53.6	54.9

จากตารางที่ 4.2 สามารถสรุปได้ว่าการใส่สารผสมเพิ่มในอัตราส่วนที่เพิ่มมากขึ้นทำให้ค่าจุดอ่อนตัวเพิ่มขึ้นตามเปอร์เซ็นต์ที่ใส่สารผสมเพิ่ม (กรมทางหลวงชนบท, 2013) อุณหภูมิที่เป็นจุดอ่อนตัว (Softening Point) จะสูงขึ้น (จิราภรณ์ ทองศรีนุ่น, 2012) และสอดคล้องกับผลการทดสอบของ Peiliang et al. (2013) ที่ได้ทำการทดสอบแล้วพบว่าค่าจุดอ่อนตัวเพิ่มมากขึ้นตามเปอร์เซ็นต์การใส่เศษยางรถยนต์แต่เมื่อแอสฟัลต์มีความแข็งเพิ่มขึ้นอาจจะเสียคุณสมบัติทางด้าน Fatigue และเมื่อเปรียบเทียบค่าผลการทดสอบกับผลการทดสอบของกรมทางหลวงชนบท สถาบันวิจัยยางและข้อกำหนดพิเศษที่ สว.1/2555 ดังรูปที่ 4.2



รูปที่ 4.2 เปรียบเทียบค่าจุดอ่อนตัวประเภทต่างๆ

จากรูปที่ 4.2 สามารถสรุปได้ว่าค่าของการทดสอบมีค่าใกล้เคียงกับการทดสอบของกรมทางหลวงชนบทยกเว้นค่าแอสฟัลต์คอนกรีตผสมเศษยางพาราที่ 5 % และ 7 % ของ ฉพรัตน์ วิจิตรชลชัย (2554) แต่ทั้งคู่อีกยังอยู่ในเกณฑ์มาตรฐานและเมื่อเปรียบเทียบกับของ Fernando และ Nadara (1969) ผลปรากฏว่าค่าของ Fernando และ Nadara (1969) มีค่าที่มากกว่าเหตุผลเพราะตัวอย่างที่ใช้ใช้ด้วยวงกลมประเภทกันเหตุผลดังที่อธิบายไว้ใน 4.2.1 และเทียบกับของ Tuntiworawit et al. (2005) พบว่าค่ามีที่ใกล้เคียงกัน ด้านผลการเปรียบเทียบค่า AC 60/70 ผสมยางพาราที่ 5 % ผ่านมาตรฐานของ No - dhsp409-56 และค่า AC 60/70 ผสมเศษยางรถยนต์ที่ 3 %, 5 % และ 7 % ผ่านมาตรฐานของ ASTM (D6114/D6114M - 09) ประเภท Type 2 และ Type 3 แสดงถึงเหมาะสมสำหรับอุณหภูมิเฉลี่ยสูงสุดไม่เกิน 43°C หรือน้อยกว่านั้น ซึ่งผลการทดสอบของแอสฟัลต์ผสมเศษยางรถยนต์สอดคล้องกับการทดสอบของ Xiang et al. (2009) ที่ว่าการทดสอบของจุดอ่อนตัวพบค่าของแอสฟัลต์ผสมเศษยางรถยนต์มีค่าที่เพิ่มมากขึ้น

4.2.3 ผลการทดสอบความถ่วงจำเพาะ

ความถ่วงจำเพาะ (Specific Gravity) ของแอสฟัลต์ซีเมนต์คืออัตราส่วนของมวลของวัสดุที่มีปริมาตรตามกำหนดที่อุณหภูมิ 25°C ต่อมวลของน้ำที่มีปริมาตรเท่ากันที่อุณหภูมิเดียวกัน ใช้มาตรฐานการทดสอบ ASTM D 70-82 (Reapproved 1990) และ AASHTO T 228-85

ตารางที่ 4.3 ผลการทดสอบความถ่วงจำเพาะ

	AC 60/70	AC 60/70 ผสม ยางพารา 3 %	AC 60/70 ผสม ยางพารา 5 %	AC 60/70 ผสม ยางพารา 7 %	AC 60/70 ผสมเศษยาง รถยนต์ 5 %	AC 60/70 ผสมเศษยาง รถยนต์ 7 %	AC 60/70 ผสมเศษยาง รถยนต์ 9 %
ความถ่วงจำเพาะ	1.030	1.055	1.065	1.085	1.079	1.085	1.097

จากตารางที่ 4.3 สามารถสรุปได้ว่าการใส่สารผสมเพิ่มลงไปจะทำให้ค่าความถ่วงจำเพาะเพิ่มมากขึ้นเล็กน้อยเนื่องจากวัสดุที่ใส่ลงไปมีความถ่วงจำเพาะมากกว่าแอสฟัลต์ AC 60/70 และจะเพิ่มมากขึ้นตามเปอร์เซ็นต์การใส่สารผสมเพิ่มขึ้นด้วย

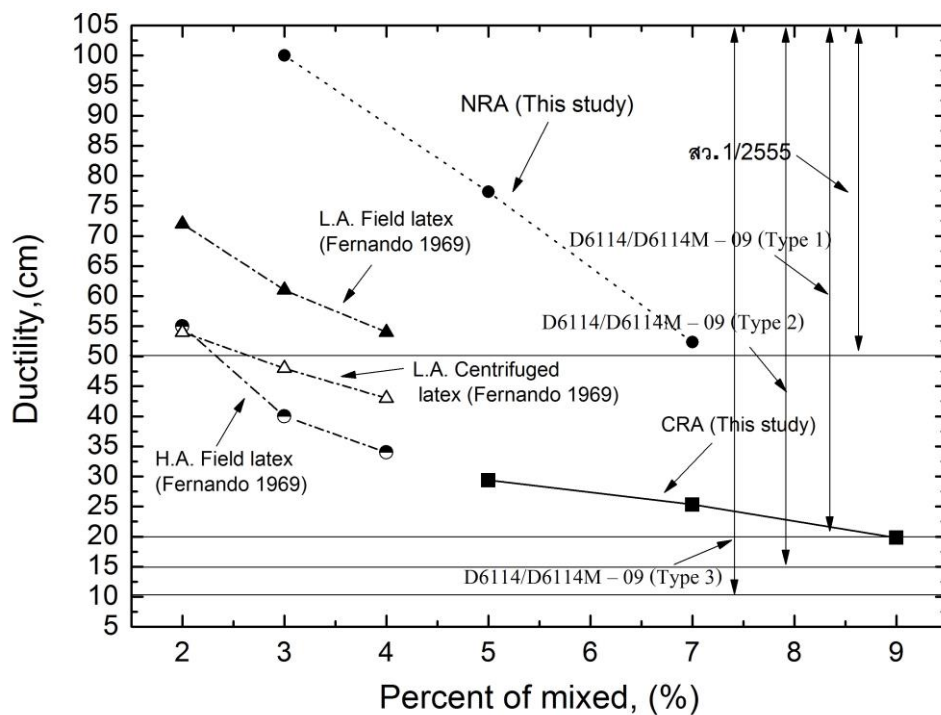
4.2.4 ผลการทดสอบ Ductility

การยืดตัวถือเป็นคุณสมบัติที่สำคัญประการหนึ่งของแอสฟัลต์คือวัสดุจำพวกบิทูมินัสที่กึ่งแข็งความเหนียวเช่นนี้เป็นความสามารถยืดหยุ่นได้ภายใต้แรงดึงและด้วยคุณสมบัติข้อนี้จึงทำให้ผิวทางที่ใช้บิทูมินัสเป็นตัวเชื่อมประสานยึดหยุ่นได้และดูดซับแรงกระแทกได้ดี วิธีการทดสอบก็นำตัวอย่างที่ได้รับการหล่อให้เป็นรูปบริเคตตามมาตรฐานภายใต้สภาพที่กำหนดจากนั้นนำไปทดสอบดึงในน้ำอุณหภูมิที่มาตรฐานที่ 25°C ดึงปลายข้างหนึ่งของบริเคตออก โดยความเร็วที่กำหนด 5 ซม./นาที จนกระทั่งยางมะตอยยืดยาวเหมือนเส้นด้ายจนขาดออกจากกัน ใช้มาตรฐานการทดสอบ ASTM D 113-86 (Reapproved 1992) AASHTO T 51-86 และ มอก. 1202-2536

ตารางที่ 4.4 ผลการทดสอบยืดตัว Ductility

	AC 60/70	AC 60/70 ผสมยางพารา 3 %	AC 60/70 ผสมยางพารา 5 %	AC 60/70 ผสมยางพารา 7 %	AC 60/70 ผสมเศษยาง รถยนต์ 5 %	AC 60/70 ผสมเศษยาง รถยนต์ 7 %	AC 60/70 ผสมเศษยาง รถยนต์ 9 %
Ductility (mm)	100	100	77.33	52.35	29.38	25.32	19.83

จากตารางที่ 4.4 สามารถสรุปได้คือการใส่สารผสมเพิ่มจะทำให้ค่า Ductility ลดลงและการใส่สารผสมเพิ่มยังทำให้ค่าการยืดตัวลดลงตามเปอร์เซ็นต์การใส่สารผสมเพิ่ม เมื่อเพิ่มปริมาณผงยางรถยนต์ในแอสฟัลต์ค่าความเหนียว (Ductility) จะมีค่าที่ต่ำลง เนื่องจากมีการเพิ่มผงยางรถยนต์มากเกินไปทำให้แอสฟัลต์มีการยึดเกาะกับผงยางรถยนต์ลดลง (ฉัตรวรุณ, 2552) และสอดคล้องกับผลการทดสอบของ Nuha et al. (2011) และ Peiliang et al. (2013) ที่ได้ทำการทดสอบแล้วพบว่าค่า Ductility ลดลงตามเปอร์เซ็นต์การใส่เศษยางรถยนต์



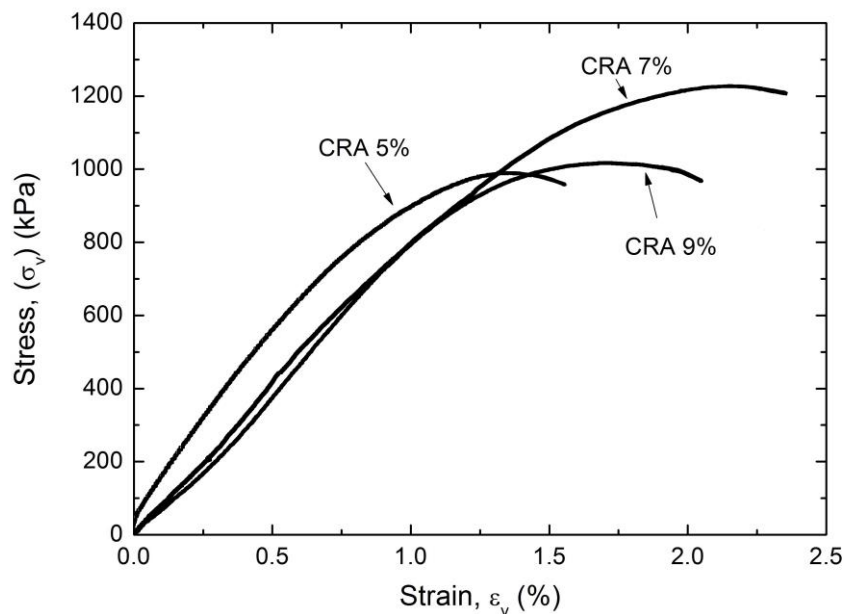
รูปที่ 4.3 เปรียบเทียบค่า Ductility ประเภทต่างๆ

จากรูปที่ 4.3 สามารถสรุปได้ว่าค่า (Fernando และ Nadara, 1969) มีค่าอยู่กึ่งกลางระหว่างค่าของแอสฟัลต์ผสมยางพาราและค่าของแอสฟัลต์ผสมเศษยางรถยนต์เหตุผลเป็นเพราะตัวอย่างที่ใช้ใช้ตัวอย่างคนละประเภทกันเหตุผลดังที่อธิบายไว้ใน 4.2.1 ด้านผลการเปรียบเทียบค่า Ductility ของ AC 60/70 พบว่าผ่านมาตรฐานของ No - dhsp401-31 และค่า Ductility ของแอสฟัลต์ผสมยางพาราที่ 5 % ผ่านมาตรฐานข้อกำหนดพิเศษที่ สว.1/2555 ของกรมทางหลวงส่วนค่า Ductility ของแอสฟัลต์ผสมเศษยางรถยนต์ 3 %, 5 % และ 7 % ผ่านมาตรฐานของ ASTM D6114/D6114M -09 Type 1 ถึง Type 3

4.3 การทดสอบแบบน้ำหนักกดครั้งเดียว (Monotonic loading)

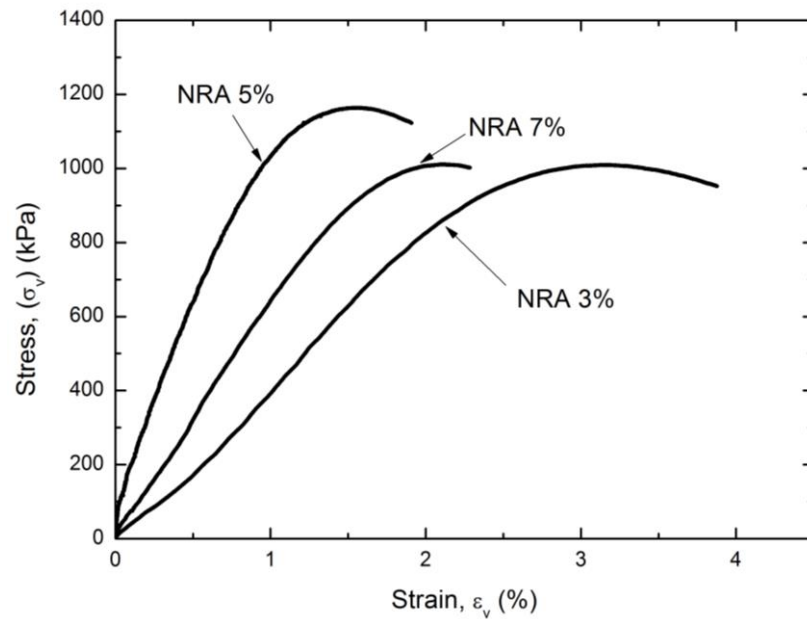
4.3.1 ความสัมพันธ์ระหว่างความเค้นและความเครียด

รูปที่ 4.4 – 4.5 แสดงความสัมพันธ์ระหว่างความเค้นและความเครียดที่ได้จากการทดสอบการทดสอบครั้งนี้ให้แรงกระทำแบบต่อเนื่องด้วยอัตราการเคลื่อนตัว ($\dot{\epsilon}$) คงที่เท่ากับ 0.03 %/นาที ที่ความหนาแน่น 2.37 กรัม/ลูกบาศก์เซนติเมตรของแอสฟัลต์ผสมยางพาราและแอสฟัลต์ผสมเศษยางรถยนต์ที่เปอร์เซ็นต์การผสมต่างๆ



รูปที่ 4.4 ความสัมพันธ์เชิงเส้นระหว่างความเค้นและความเครียดของแอสฟัลต์ผสมเศษยางรถยนต์ที่ 3%, 5% และ 7% ที่ความหนาแน่น 2.37 กรัม/ลูกบาศก์เซนติเมตร

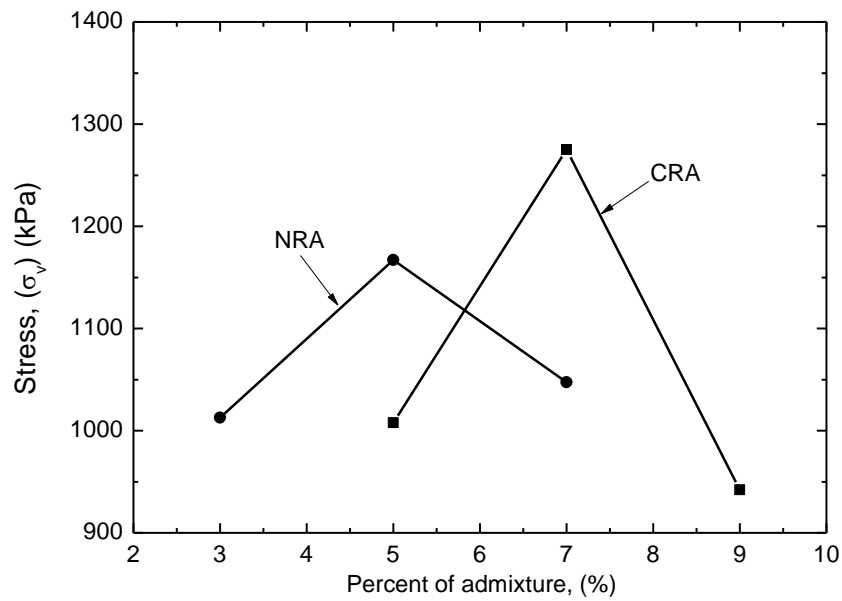
จากรูปที่ 4.4 จะเห็นได้ว่าค่าความเค้นของแอสฟัลต์ผสมเศษยางรถยนต์ที่ 7% มีค่าความเค้นสูงสุดที่มากที่สุดรองลงมาคือแอสฟัลต์ผสมเศษยางรถยนต์ที่ 5% และแอสฟัลต์ผสมเศษยางรถยนต์ที่ 9% ตามลำดับ ซึ่งผลการทดสอบที่กล่าวมาสอดคล้องกับผลการทดสอบ Marshall ที่แอสฟัลต์ผสมเศษยางรถยนต์ที่ 7% มีค่า Stability ที่มากที่สุดเมื่อเทียบกับแอสฟัลต์ผสมเศษยางรถยนต์ที่เปอร์เซ็นต์อื่นๆ



รูปที่ 4.5 ความสัมพันธ์เชิงเส้นระหว่างความเค้นและความเครียดของแอสฟัลต์ผสมยางพาราที่ 3 %, 5 % และ 7 % ที่ความหนาแน่น 2.37 กรัม/ลูกบาศก์เซนติเมตร

จากรูปที่ 4.5 จะเห็นได้ว่าค่าความเค้นของแอสฟัลต์ผสมยางพาราที่ 5 % มีค่าความเค้นสูงสุดที่มากที่สุดรองลงมาคือแอสฟัลต์ผสมยางพาราที่ 7 % และแอสฟัลต์ผสมยางพาราที่ 3 % ตามลำดับ ซึ่งผลการทดสอบที่กล่าวมาสอดคล้องกับผลการทดสอบ Marshall ที่แอสฟัลต์ผสมยางพาราที่ 5 % มีค่า Stability ที่มากที่สุดเมื่อเทียบกับแอสฟัลต์ผสมยางพาราที่เปอร์เซ็นต์อื่นๆ และสอดคล้องกับผลของ (กรมทางหลวงชนบท, 2013) ที่จัดอันดับให้แอสฟัลต์ผสมยางพาราที่ 5 % อยู่อันดับหนึ่งและสถาบันวิจัยยาง โดย (ณพรัตน์ วิจิตรชลชัย, 2554) ที่อัตราส่วนผสมที่ 5 % เป็นอัตราส่วนที่เหมาะสม

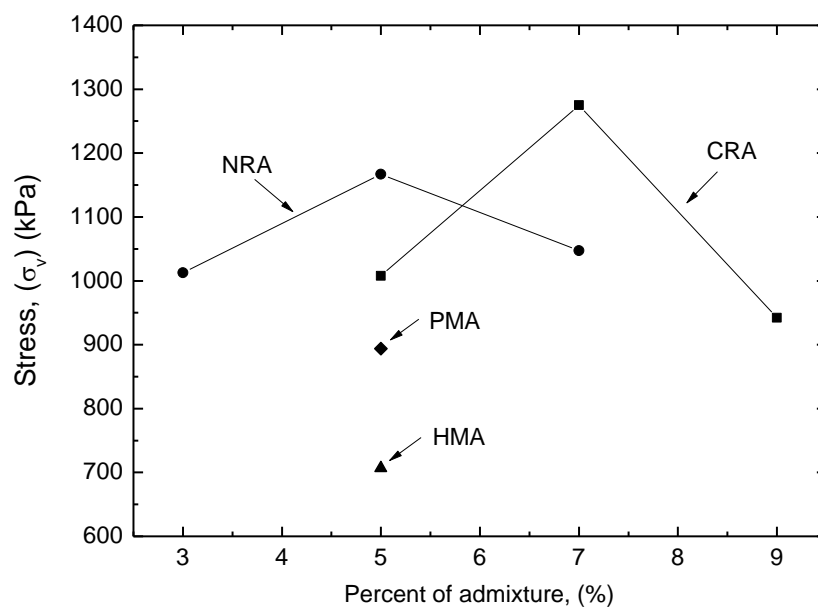
จากรูปที่ 4.4-4.5 สามารถสรุปค่าความเค้นสูงสุดของแอสฟัลต์ผสมยางพาราและแอสฟัลต์ผสมเศษยางรถยนต์ได้ดังรูปที่ 4.6



รูปที่ 4.6 ค่าความเค้นสูงสุดของแอสฟัลต์ประเภทต่างๆ

จากรูปที่ 4.6 จะเห็นได้ว่าค่าความเค้นของแอสฟัลต์ผสมยางรถยนต์ที่ 7 % มีค่าความเค้นสูงสุดที่มากที่สุดรองลงมาคือแอสฟัลต์ผสมยางพาราที่ 5 %, แอสฟัลต์ผสมยางพาราที่ 7 %, แอสฟัลต์ผสมยางพาราที่ 3 %, แอสฟัลต์ผสมเศษยางรถยนต์ที่ 5 % และแอสฟัลต์ผสมยางรถยนต์ที่ 9 %

เมื่อนำค่าความเค้นของแอสฟัลต์คอนกรีตและ โมดิฟายด์โพลิเมอร์แอสฟัลต์ (Kongkitkul et al., 2014) มาเปรียบเทียบกับรูปที่ 4.7



รูปที่ 4.7 ค่าความเค้นสูงสุดของแอสฟัลต์ประเภทต่างๆ

จากรูปที่ 4.7 สามารถสรุปได้ว่าค่า PMA และ HMA มีค่าความเค้นสูงสุดน้อยกว่า NRA และ CRA ทุกเปอร์เซ็นต์การผสม จากผลการทดสอบพบว่าค่า NRA CRA มีค่ากำลังมากกว่า HMA แสดงได้ว่าการใส่ยางพาราและเศษยางรถยนต์จะช่วยเพิ่มความแข็งแรงแก่แอสฟัลต์

จากผลการทดสอบการให้แรงกระทำอย่างต่อเนื่องของ NRA และ CRA สรุปได้ว่า

- เปอร์เซ็นที่เหมาะสมสำหรับส่วนผสมของแอสฟัลต์คอนกรีตผสมยางรถยนต์คือ 7 %
- เปอร์เซ็นที่เหมาะสมสำหรับส่วนผสมของแอสฟัลต์คอนกรีตผสมยางพารา คือ 5 %
- การใส่ยางพาราและเศษยางรถยนต์เป็นสารผสมเพิ่มจะช่วยเพิ่มกำลังแก่แอสฟัลต์

4.4 การทดสอบการให้แรงกระทำซ้ำ (Cyclic loading)

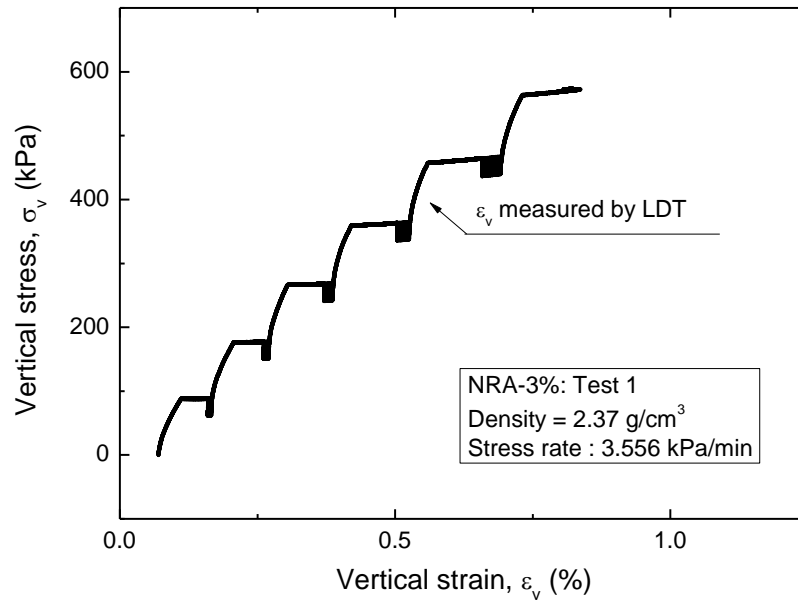
4.4.1 ความสัมพันธ์ระหว่างความเค้นและความเครียด

รูปที่ 4.8 – 4.13 แสดงความสัมพันธ์ระหว่างความเค้นและความเครียดสำหรับตัวอย่างที่มีการบดอัดในแนวตั้งที่ 2.37 กรัม/ลูกบาศก์เซนติเมตรตามลำดับ เมื่อมีการให้คงค้างแรงกระทำ (SL) ต่อด้วยการให้แรงกระทำซ้ำ (CL) ซึ่งสามารถดูผลการทดสอบทั้งหมดได้ในภาคผนวก ก

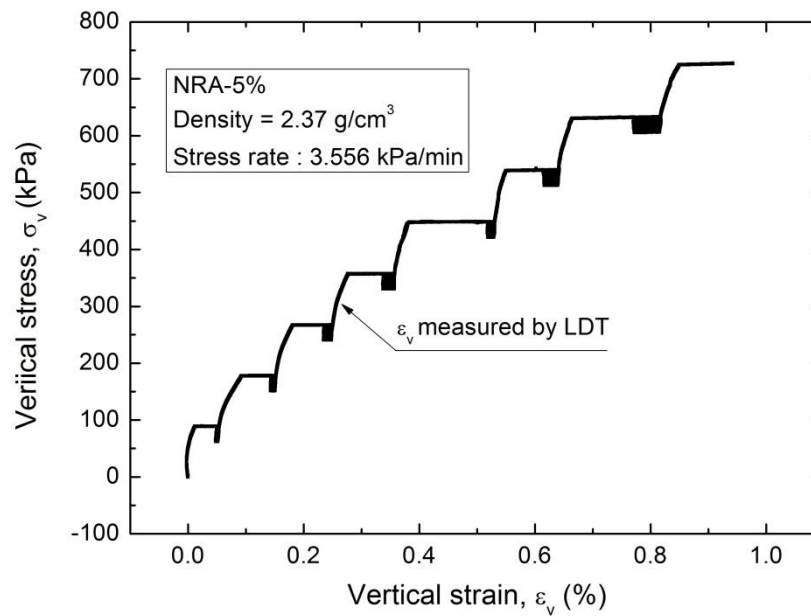
รูปที่ 4.14 – 4.19 แสดงความสัมพันธ์ระหว่างความเครียดแนวนอนและแนวตั้งสำหรับแอสฟัลต์ผสมยางพาราที่มีการบดอัดในแนวตั้งที่เปอร์เซ็นต์การผสม 3 %, 5 % และ 7 % มีความหนาแน่น 2.37 กรัม/ลูกบาศก์เซนติเมตรและสำหรับแอสฟัลต์ผสมเศษยางรถยนต์ที่มีการบดอัดในแนวตั้งที่เปอร์เซ็นต์การผสม 5 %, 7 % และ 9 % มีความหนาแน่น 2.37 กรัม/ลูกบาศก์เซนติเมตร ซึ่งสามารถดูผลการทดสอบทั้งหมดได้ในภาคผนวก ก

จากรูปที่ 4.8 ถึง 4.19 จะเห็นได้ว่า

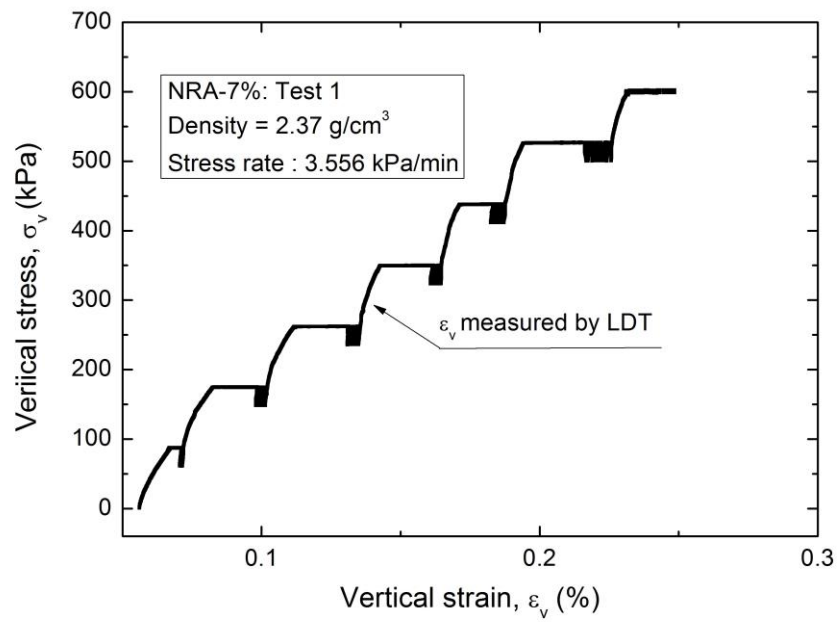
- เมื่อเปรียบเทียบความเครียดที่เกิดขึ้นระหว่างการให้แรงกระทำแบบคงแรงกระทำ (Sustained loading, SL) และจะให้แรงกระทำซ้ำ (Cyclic loading, CL) ความเครียดที่เกิดขึ้น CL จะมีค่าน้อยกว่ามาก จึงอาจกล่าวได้ว่า พฤติกรรมที่เกิดขึ้นนั้นเป็นแบบอีลาสติกเท่านั้น ดังนั้นคุณสมบัติที่ได้จากงานวิจัยนี้ จึงเป็นแบบอีลาสติกเท่านั้น (Kongkitkul et al., 2014)
- มีการขยายตัวด้านข้างเกิดขึ้นขณะให้แรงกระทำในแนวแกน โดยเฉพาะช่วงที่มีการให้แรงกระทำแบบ SL และ CL (Kongkitkul et al., 2014)
- เมื่อค่าระดับความเค้นเพิ่มมากขึ้นความคืบก็จะเกิดขึ้นมากขึ้นตามระดับความเค้น
- เมื่อค่าระดับความเค้นเพิ่มมากขึ้นการเสียรูปของแอสฟัลต์คอนกรีตก็จะเกิดขึ้นมากขึ้นตามระดับความเค้น



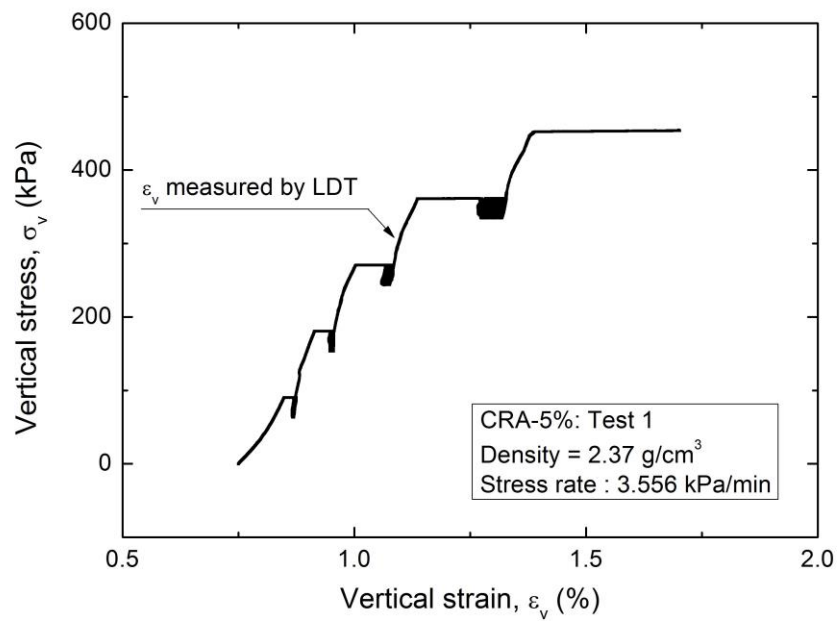
รูปที่ 4.8 ความสัมพันธ์ระหว่างความเค้นและความเครียดของแอสฟัลต์ผสมยางพาราที่เปอร์เซ็นต์การผสม 3 % ความหนาแน่น 2.37 กรัม/ลูกบาศก์เซนติเมตร



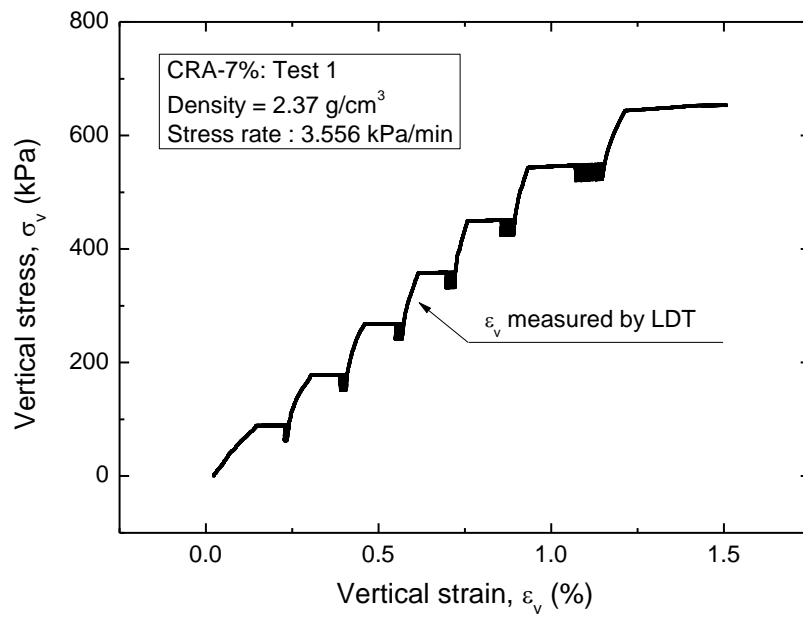
รูปที่ 4.9 ความสัมพันธ์ระหว่างความเค้นและความเครียดของแอสฟัลต์ผสมยางพาราที่เปอร์เซ็นต์การผสม 5 % ความหนาแน่น 2.37 กรัม/ลูกบาศก์เซนติเมตร



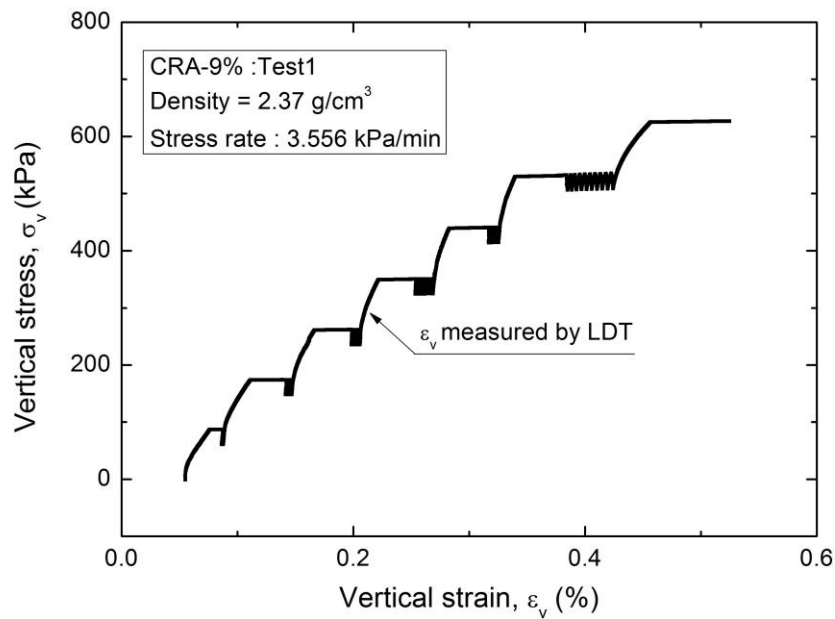
รูปที่ 4.10 ความสัมพันธ์ระหว่างความเค้นและความเครียดของแอสฟัลต์ผสมยางพาราที่เปอร์เซ็นต์การผสม 7 % ความหนาแน่น 2.37 กรัม/ลูกบาศก์เซนติเมตร



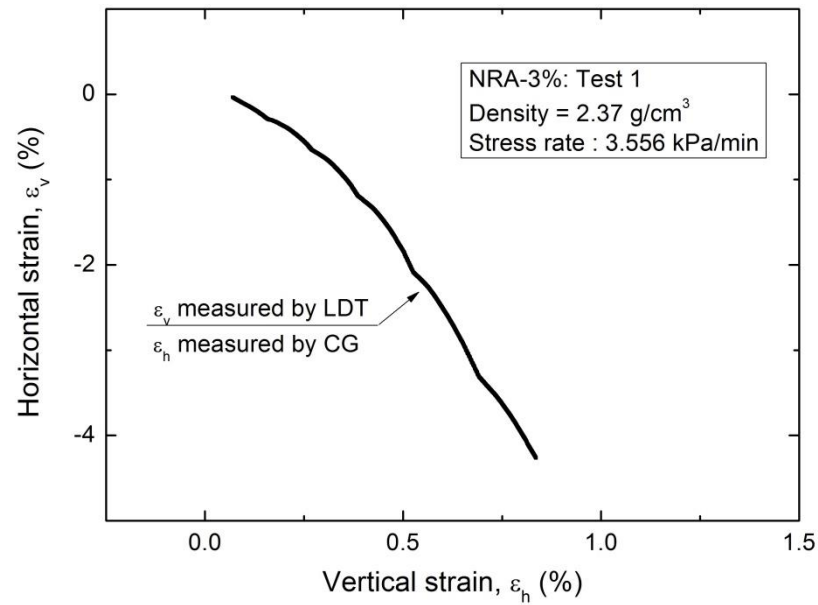
รูปที่ 4.11 ความสัมพันธ์ระหว่างความเค้นและความเครียดของแอสฟัลต์ผสมเศษยางรถยนต์ที่เปอร์เซ็นต์การผสม 5 % ความหนาแน่น 2.37 กรัม/ลูกบาศก์เซนติเมตร



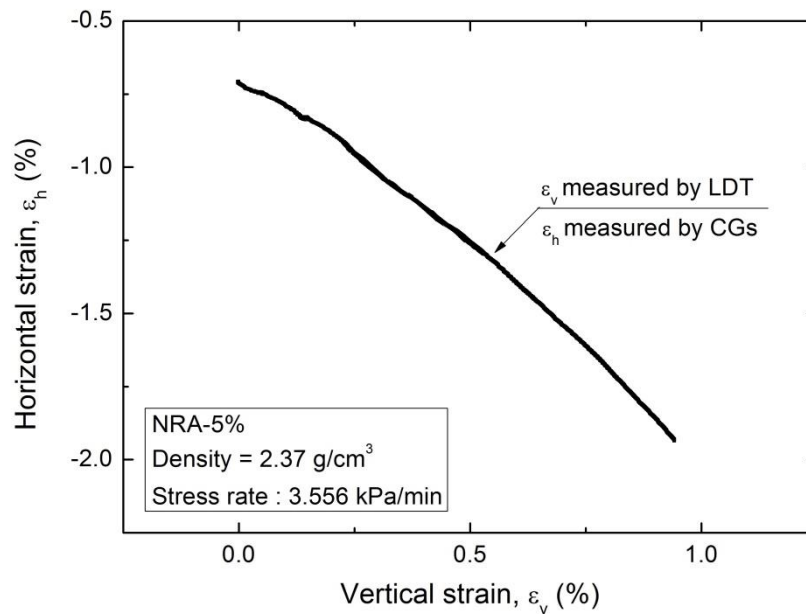
รูปที่ 4.12 ความสัมพันธ์ระหว่างความเค้นและความเครียดของแอสฟัลต์ผสมเศษยางรถยนต์ที่เปอร์เซ็นต์การผสม 7 % ความหนาแน่น 2.37 กรัม/ลูกบาศก์เซนติเมตร



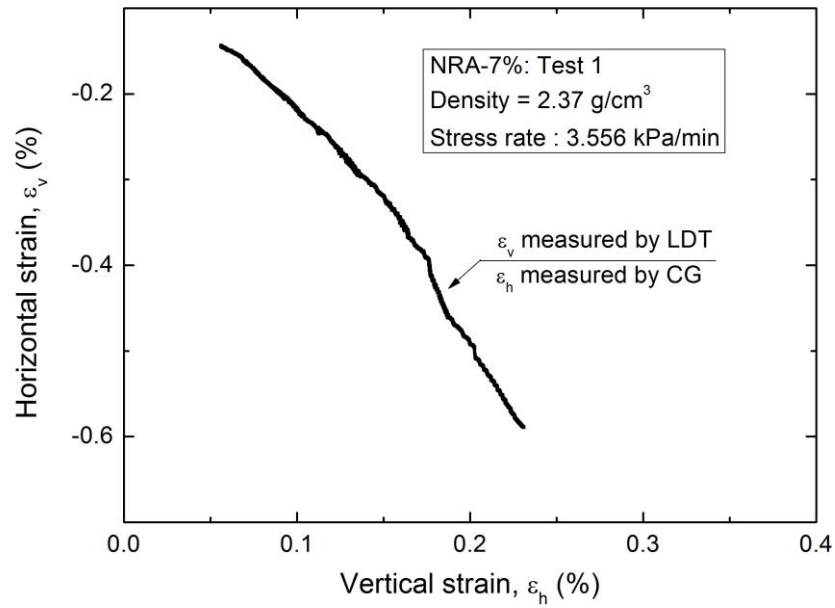
รูปที่ 4.13 ความสัมพันธ์ระหว่างความเค้นและความเครียดของแอสฟัลต์ผสมเศษยางรถยนต์ที่เปอร์เซ็นต์การผสม 9 % ความหนาแน่น 2.37 กรัม/ลูกบาศก์เซนติเมตร



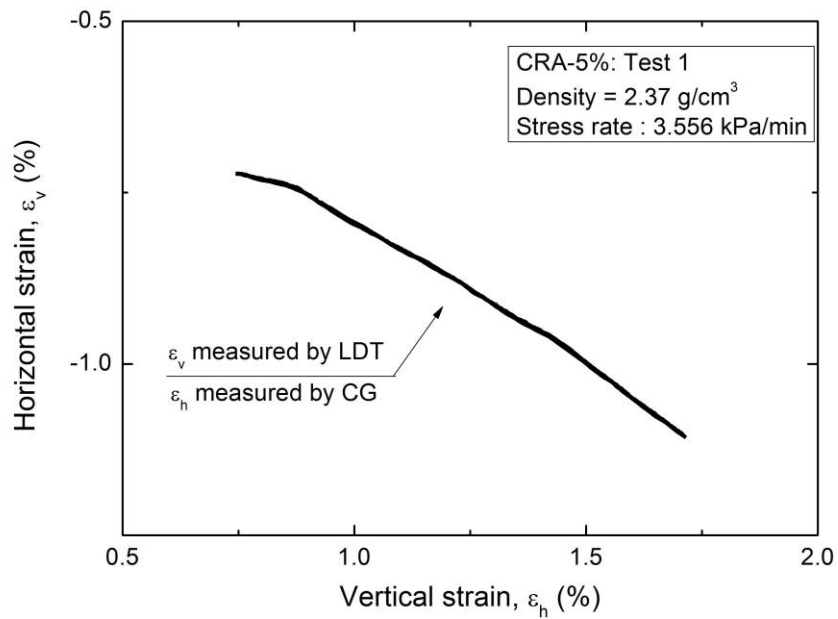
รูปที่ 4.14 ความสัมพันธ์ระหว่างความเครียดแนวนอนและแนวตั้งของแอสฟัลต์ผสมยางพาราที่เปอร์เซ็นต์การผสม 3 % ความหนาแน่น 2.37 กรัม/ลูกบาศก์เซนติเมตร



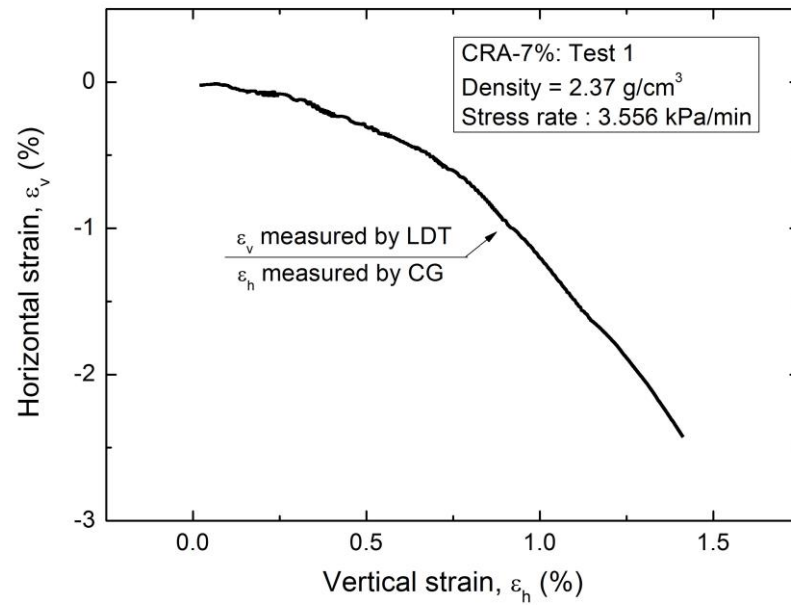
รูปที่ 4.15 ความสัมพันธ์ระหว่างความเครียดแนวนอนและแนวตั้งของแอสฟัลต์ผสมยางพาราที่เปอร์เซ็นต์การผสม 5 % ความหนาแน่น 2.37 กรัม/ลูกบาศก์เซนติเมตร



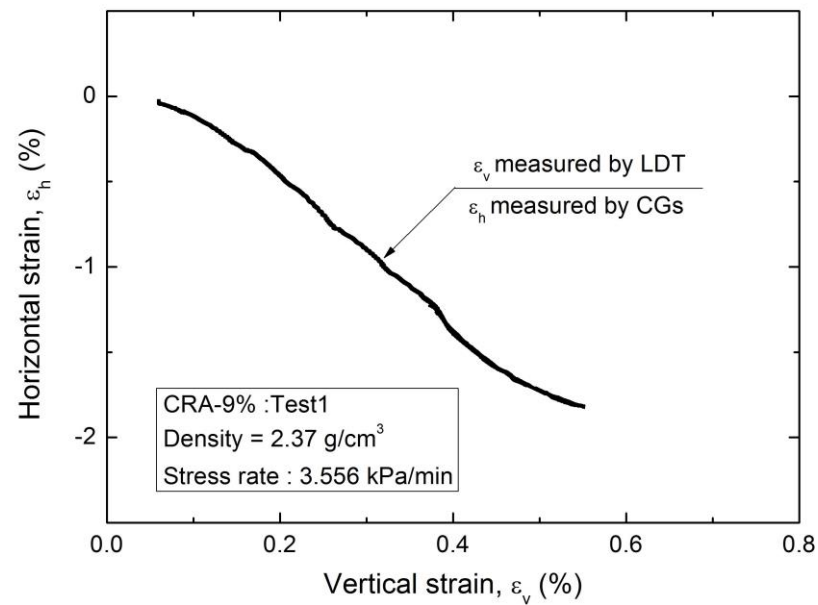
รูปที่ 4.16 ความสัมพันธ์ระหว่างความเครียดแนวนอนและแนวตั้งของแอสฟัลต์ผสมยางพาราที่เปอร์เซ็นต์การผสม 7 % ความหนาแน่น 2.37 กรัม/ลูกบาศก์เซนติเมตร



รูปที่ 4.17 ความสัมพันธ์ระหว่างความเครียดแนวนอนและแนวตั้งของแอสฟัลต์ผสมเศษยางรถยนต์ที่เปอร์เซ็นต์การผสม 5 % ความหนาแน่น 2.37 กรัม/ลูกบาศก์เซนติเมตร



รูปที่ 4.18 ความสัมพันธ์ระหว่างความเครียดแนวนอนและแนวตั้งของแอสฟัลต์ผสมเศษยางรถยนต์ที่เปอร์เซ็นต์การผสม 7 % ความหนาแน่น 2.37 กรัม/ลูกบาศก์เซนติเมตร

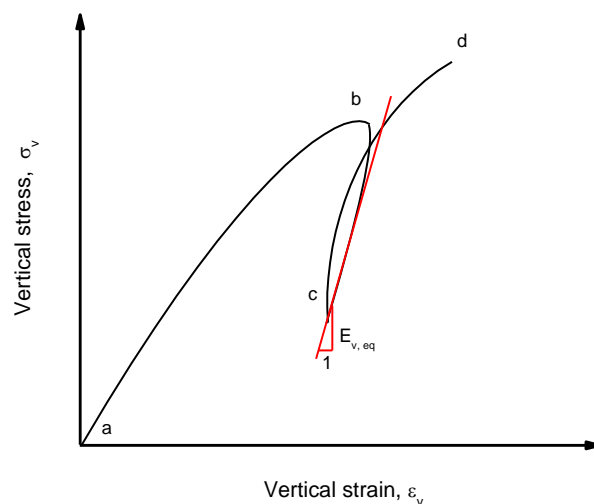


รูปที่ 4.19 ความสัมพันธ์ระหว่างความเครียดแนวนอนและแนวตั้งของแอสฟัลต์ผสมเศษยางรถยนต์ที่เปอร์เซ็นต์การผสม 9 % ความหนาแน่น 2.37 กรัม/ลูกบาศก์เซนติเมตร

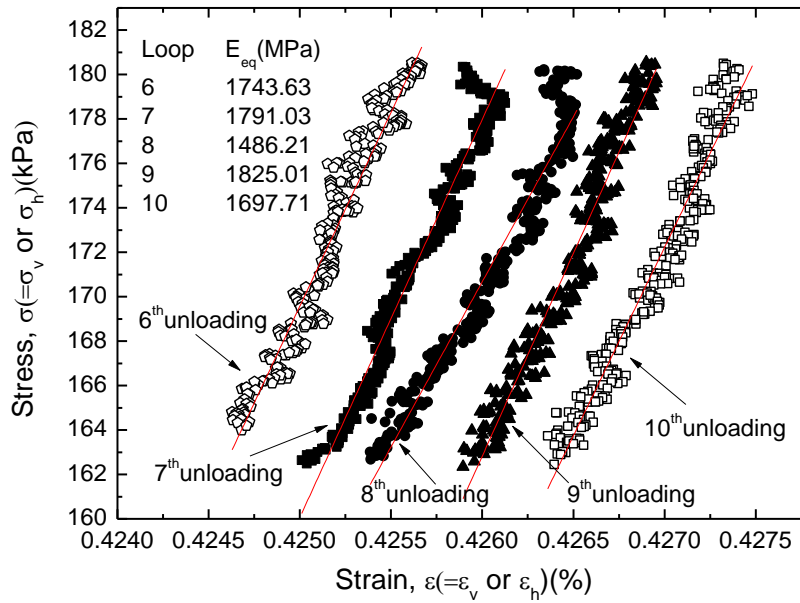
4.4.2 ค่าโมดูลัสสมมูลย์ (Equivalent modulus) และอัตราส่วนปัวซอง (Poisson's ratio)

ค่าโมดูลัสสมมูลย์ (Equivalent modulus) (Kongkitkul et al., 2014) คือ ค่า Young's modulus ที่ได้มาจากพฤติกรรมแบบอีลาสติกสมมูลย์ซึ่งสามารถหาได้จากความสัมพันธ์ที่มีลักษณะเป็นเชิงเส้นระหว่างความเค้นและความเครียดของช่วงที่ทำการถอดน้ำหนักในช่วงของการให้แรงกระทำแบบ CL ดังแสดงในรูปที่ 4.20 สำหรับตัวอย่างที่มีการบดอัดในแนวตั้งซึ่งจะได้ค่า $E_{v,eq}$ การศึกษาครั้งนี้ได้นำมาจากการศึกษาของ (Kongkitkul et al., 2014) และยังไม่ได้นำมาคำนึงถึงอุณหภูมิการผสมที่ที่จะมีผลต่อการเปลี่ยนแปลงค่าโมดูลัสและอัตราส่วนปัวซอง ตัวอย่างความสัมพันธ์ระหว่างความเค้นและความเครียดที่ใช้ในการหาค่าโมดูลัสสมมูลย์แสดงดังรูปที่ 4.21 รูปที่ 4.21 ความสัมพันธ์ระหว่างความเค้นและความเครียดที่ใช้นิยามค่าโมดูลัสอีลาสติกสมมูลย์ที่ได้จากช่วงถอดแรงกระทำรอบที่ 6-10 ของการให้แรงกระทำแบบ CL

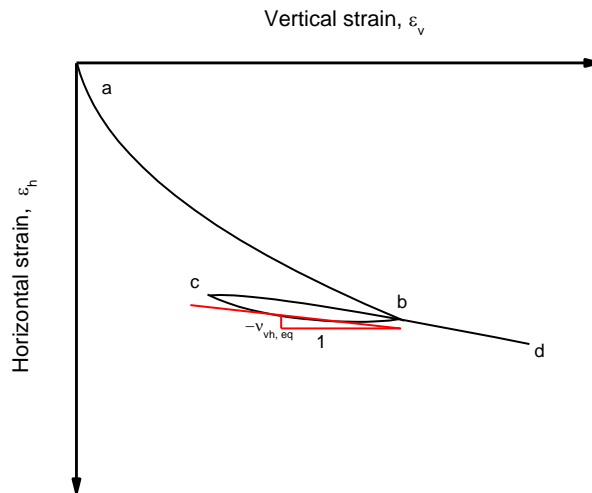
สำหรับค่าอัตราส่วนปัวซองสำหรับตัวอย่างที่มีการบดอัดในแนวตั้ง (ν_{vh}) จะสามารถหาได้จากความสัมพันธ์ระหว่างความเครียดในแนวนอนและแนวตั้ง (รูปที่ 4.22) ซึ่งความสัมพันธ์ดังกล่าวจะมีลักษณะเป็นเชิงเส้นขณะช่วงที่ทำการถอดน้ำหนักในช่วงของการให้แรงกระทำแบบ CL ดังตัวอย่างในรูปที่ 4.23



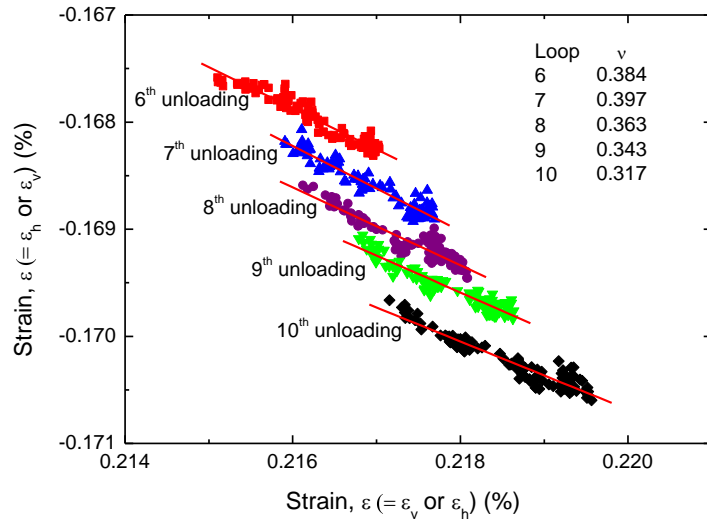
รูปที่ 4.20 ความสัมพันธ์ระหว่างความเค้นและความเครียดที่ใช้นิยามค่าโมดูลัสอีลาสติกสมมูลย์



รูปที่ 4.21 ตัวอย่างความสัมพันธ์ระหว่างความเค้นและความเครียดที่ใช้นิยามค่าโมดูลัสอีลาสติกสมมูลย์ ที่ได้จากช่วงถอดแรงกระทำรอบที่ 6-10 ของการให้แรงกระทำแบบ CL



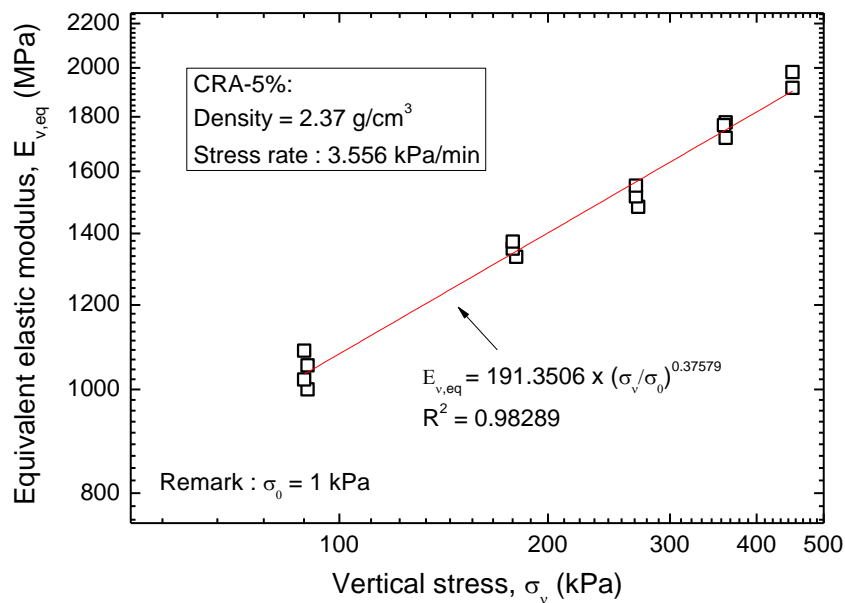
รูปที่ 4.22 ความสัมพันธ์ระหว่างความเครียดในแนวตั้งและแนวนอนที่ใช้นิยามอัตราส่วนปัวซอง



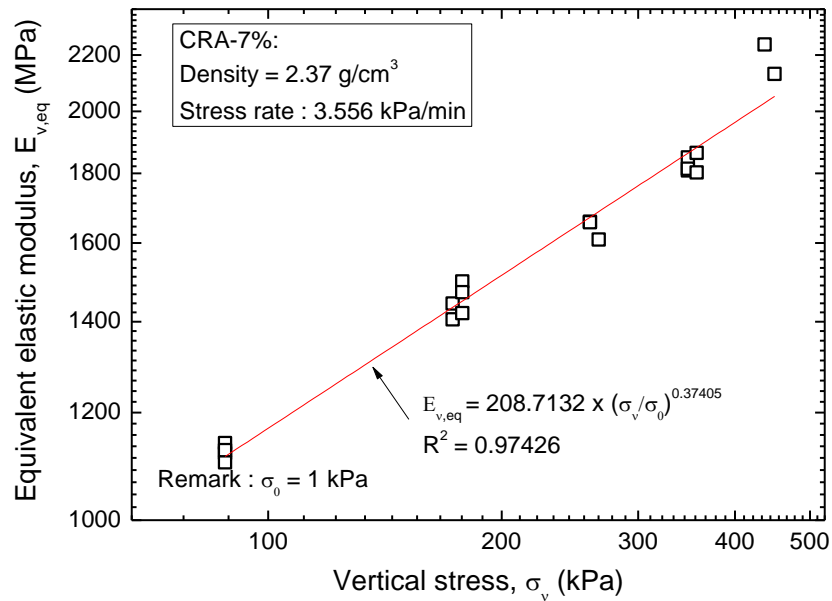
รูปที่ 4.23 ตัวอย่างความสัมพันธ์ระหว่างความเครียดในแนวนอนและแนวตั้งที่ใช้นิยามอัตราส่วนปัวซองที่ได้จากช่วงถอดแรงกระทำรอบที่ 6-10 ของการให้แรงกระทำแบบ CL

4.4.2.1 ค่าโมดูลัสสมมูล (Equivalent modulus) และอัตราส่วนปัวซองของสมมูล (Poisson's ratio) ของแอสฟัลต์คอนกรีตผสมเศษยางรถยนต์

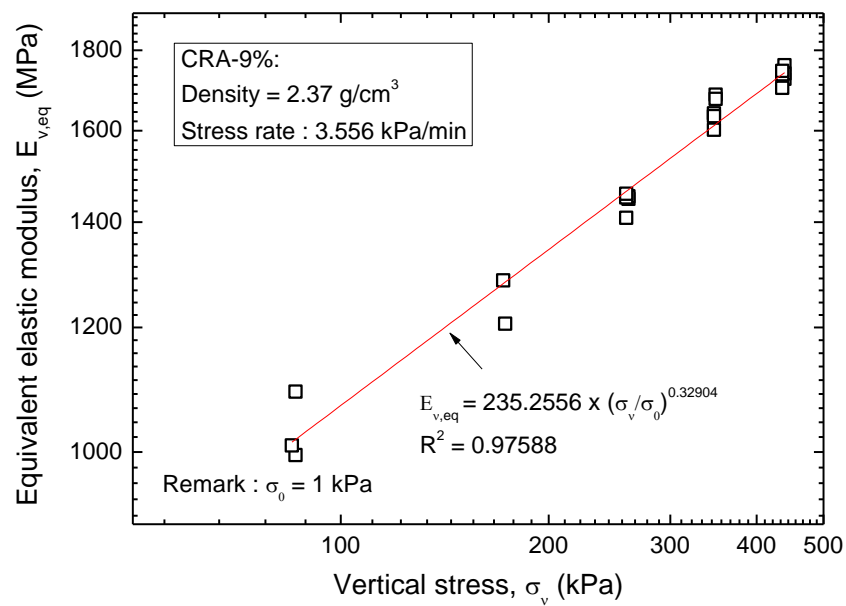
สำหรับตัวอย่างที่มีการบดอัดในแนวตั้งจะได้รับความสัมพันธ์ค่าโมดูลัสอีลาสติกสมมูลและอัตราส่วนปัวซองของสมมูลเทียบกับแสดงดังรูปที่ 4.24 ถึงรูปที่ 4.31 ที่ความหนาแน่นแตกต่างกันคือ 2.37 กรัม/ลูกบาศก์เซนติเมตร ซึ่งสามารถดูผลการทดสอบทั้งหมดได้ในภาคผนวก ก



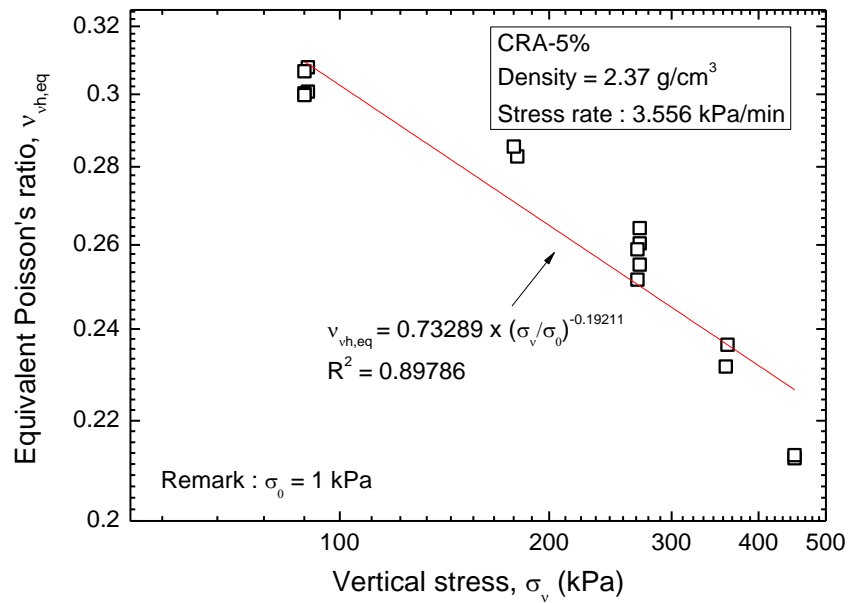
รูปที่ 4.24 ความสัมพันธ์ระหว่างโมดูลัสอีลาสติกสมมูลและความเค้นแนวตั้งของแอสฟัลต์ผสมเศษยางรถยนต์ 5% ที่ความหนาแน่นเท่ากับ 2.37 กรัม/ลูกบาศก์เซนติเมตร



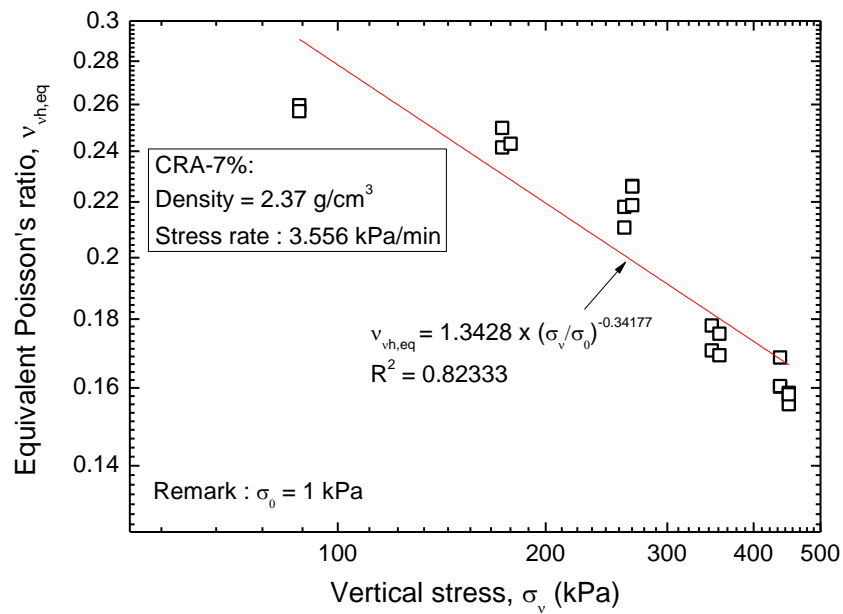
รูปที่ 4.25 ความสัมพันธ์ระหว่างโมดูลัสอีลาสติกสมมูลและความเค้นแนวตั้งของแอสฟัลต์ผสมเศษยางรถยนต์ 7 % ที่ความหนาแน่นเท่ากับ 2.37 กรัม/ลูกบาศก์เซนติเมตร



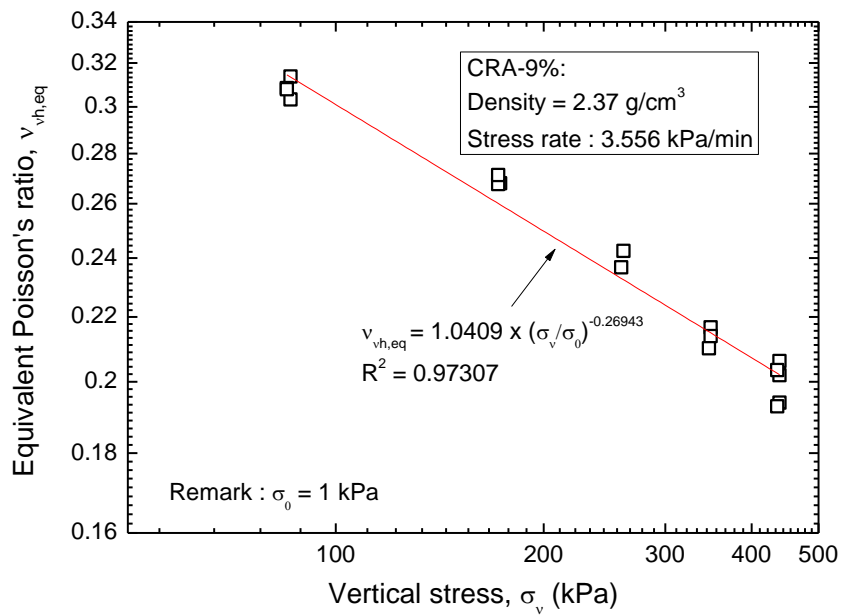
รูปที่ 4.26 ความสัมพันธ์ระหว่างโมดูลัสอีลาสติกสมมูลและความเค้นแนวตั้งของแอสฟัลต์ผสมเศษยางรถยนต์ 9 % ที่ความหนาแน่นเท่ากับ 2.37 กรัม/ลูกบาศก์เซนติเมตร



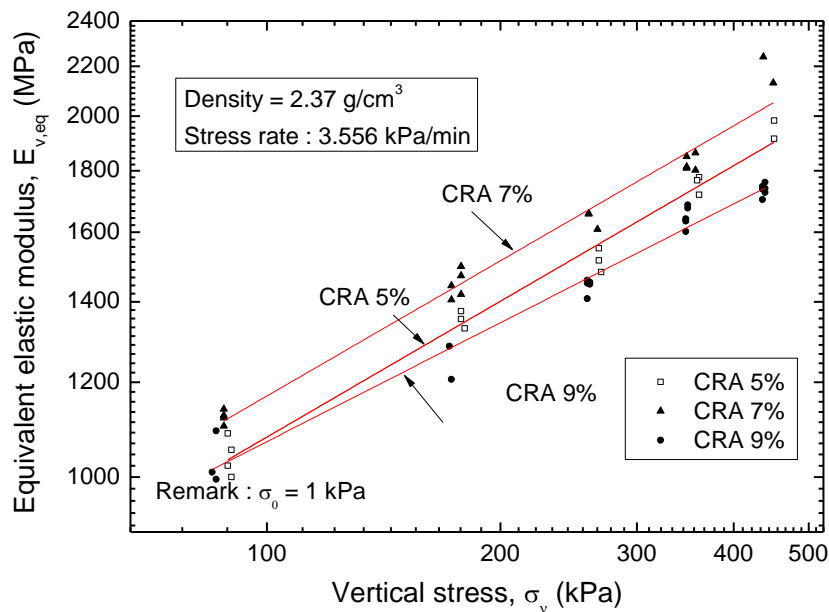
รูปที่ 4.27 ความสัมพันธ์ระหว่างอัตราส่วนปัวซองของสมมูลย์และความเค้นแนวตั้งของแอสฟัลต์ผสมเศษยางรถยนต์ 5 % ที่ความหนาแน่นเท่ากับ 2.37 กรัม/ลูกบาศก์เซนติเมตร



รูปที่ 4.28 ความสัมพันธ์ระหว่างอัตราส่วนปัวซองของสมมูลย์และความเค้นแนวตั้งของแอสฟัลต์ผสมเศษยางรถยนต์ 7 % ที่ความหนาแน่นเท่ากับ 2.37 กรัม/ลูกบาศก์เซนติเมตร

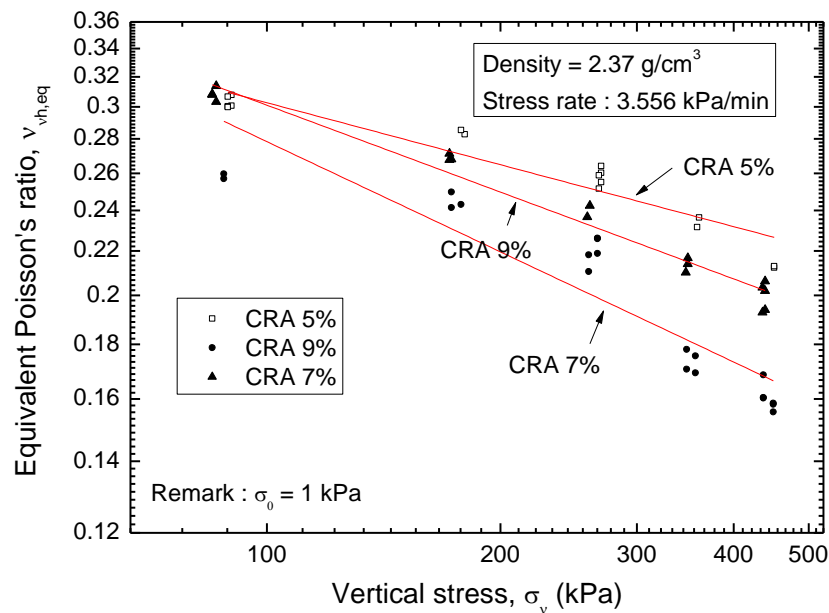


รูปที่ 4.29 ความสัมพันธ์ระหว่างอัตราส่วนปัวซองของสมมูลย์และความเค้นแนวตั้งแอสฟัลต์ผสมเศษยางรถยนต์ 9 % ที่ความหนาแน่นเท่ากับ 2.37 กรัม/ลูกบาศก์เซนติเมตร



รูปที่ 4.30 ความสัมพันธ์ระหว่างโมดูลัสอีลาสติคสมมูลย์และความเค้นแนวตั้งของแอสฟัลต์ผสมเศษยางรถยนต์ที่ความหนาแน่นเท่ากับ 2.37 กรัม/ลูกบาศก์เซนติเมตร

จากรูปที่ 4.30 สามารถสรุปได้ว่าค่าโมดูลัสอีลาสติคสมมูลย์ของแอสฟัลต์ผสมเศษยางรถยนต์ที่ 7 % มีค่ามากที่สุดรองลงมาคือ 5 % และ 9 % ซึ่งสอดคล้องกับผลการทดสอบการรับแรงอัดคือตัวอย่างที่มีกำลังรับแรงอัดสูงค่าโมดูลัสอีลาสติคสมมูลย์ก็จะสูงขึ้นด้วย



รูปที่ 4.31 ความสัมพันธ์ระหว่างอัตราส่วนปัวของสมมูลย์และความเค้นแนวตั้งของแอสฟัลต์ผสมเศษยางรถยนต์ที่มีความหนาแน่นเท่ากับ 2.37 กรัม/ลูกบาศก์เซนติเมตร

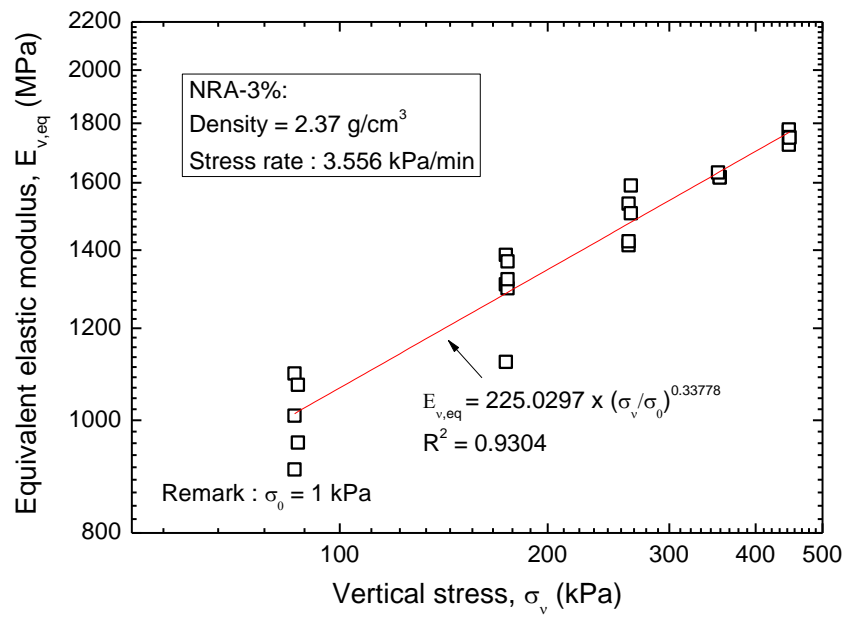
จากรูปที่ 4.31 สามารถสรุปได้ว่าค่าอัตราส่วนปัวของสมมูลย์ของแอสฟัลต์ผสมเศษยางรถยนต์ที่ 5 % มีค่าน้อยที่สุดรองลงมาคือ 7 % และ 9 % ซึ่งสอดคล้องกับผลการทดสอบการรับแรงอัดคือตัวอย่างที่มีกำลังรับแรงอัดสูงค่าอัตราส่วนปัวของสมมูลย์ก็จะลดลงด้วย

จากการทดสอบแอสฟัลต์ผสมเศษยางรถยนต์สามารถสรุปได้ดังนี้คือ

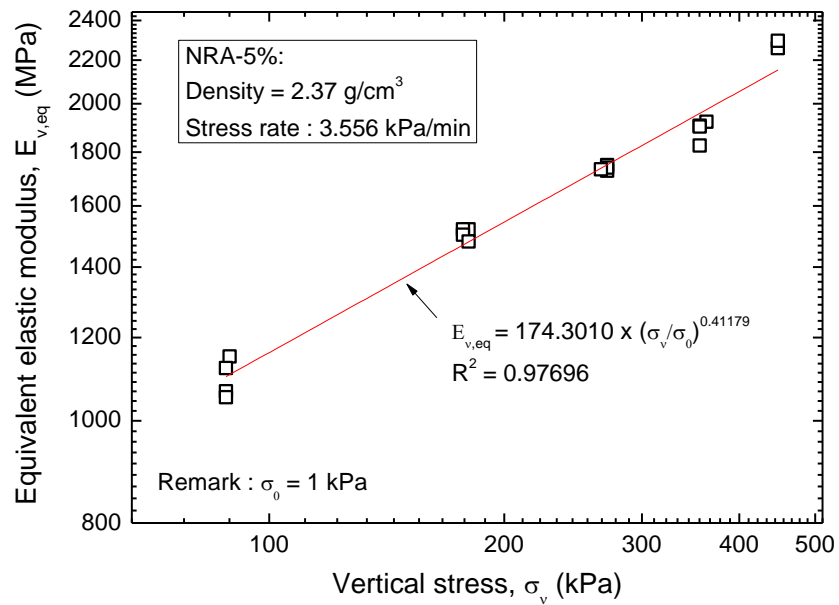
- ค่าโมดูลัสค่าโมดูลัสอีลาสติกสมมูลย์ของแอสฟัลต์ผสมเศษยางรถยนต์ที่ได้จากการทดสอบการให้แรงกระทำซ้ำเป็นรอบจากการวิจัยในครั้งนี้จะมีค่าเพิ่มขึ้นตามความเค้น กล่าวคือ เมื่อมีการเพิ่มความเค้นในแนวตั้งค่าที่ค่าโมดูลัสอีลาสติกสมมูลย์จะเพิ่มด้วยเช่นกัน
- ค่าอัตราส่วนปัวของสมมูลย์จากการทดสอบการให้แรงกระทำซ้ำจะมีค่าลดลงตามความเค้นในแนวตั้งกล่าวคือเมื่อมีการเพิ่มความเค้นในแนวตั้งค่าอัตราส่วนปัวของสมมูลย์ก็จะลดลงเช่นกัน
- ค่าเปอร์เซ็นต์ส่วนผสมที่ดีที่สุดของแอสฟัลต์ผสมเศษยางรถยนต์คือ 7 %

4.4.2.2 ค่าโมดูลัสสมมูลย์ (Equivalent modulus) และอัตราส่วนปัวของ (Poisson's ratio) ของแอสฟัลต์คอนกรีตผสมยางพารา

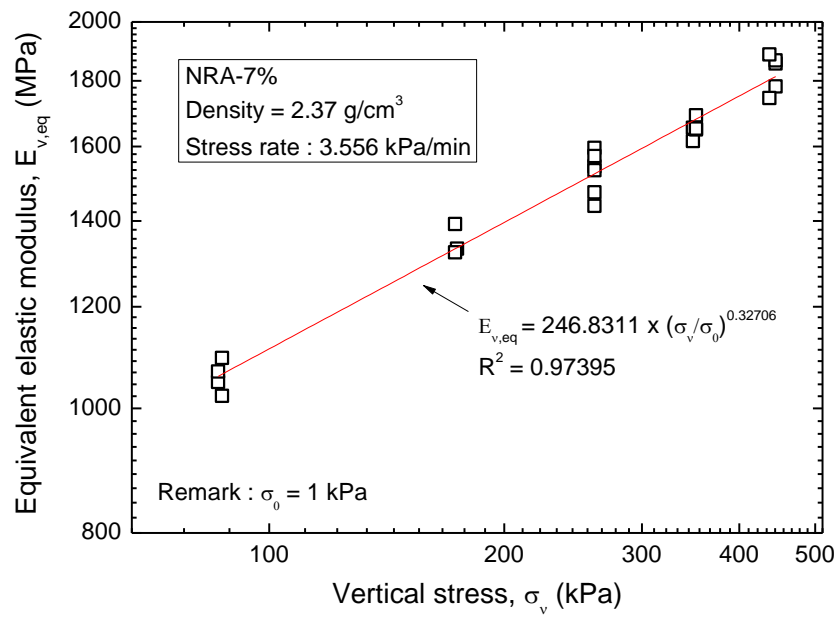
ความสัมพันธ์ค่าโมดูลัสอีลาสติกสมมูลย์และอัตราส่วนปัวของสมมูลย์ดังรูปที่ 4.32 ถึงรูปที่ 4.39 ที่ความหนาแน่นแตกต่างกันคือ 2.37 กรัม/ลูกบาศก์เซนติเมตร ซึ่งสามารถดูผลการทดสอบทั้งหมดได้ในภาคผนวก ก



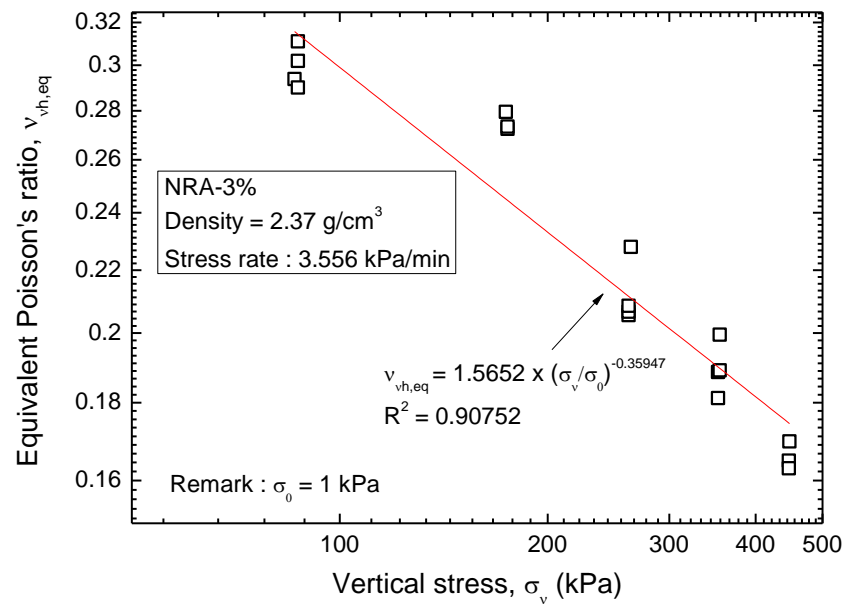
รูปที่ 4.32 ความสัมพันธ์ระหว่างโมดูลัสอีลาสติคสมมูลย์ และความเค้นแนวตั้งของแอสฟัลต์ผสมยางพารา 3 % ที่ความหนาแน่นเท่ากับ 2.37 กรัม/ลูกบาศก์เซนติเมตร



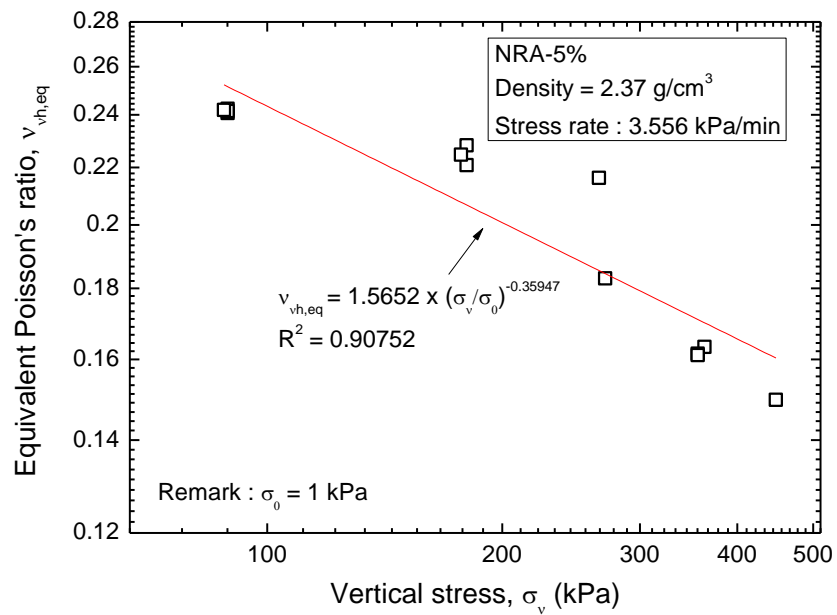
รูปที่ 4.33 ความสัมพันธ์ระหว่างโมดูลัสอีลาสติคสมมูลย์ และความเค้นแนวตั้งของแอสฟัลต์ผสมยางพารา 5 % ที่ความหนาแน่นเท่ากับ 2.37 กรัม/ลูกบาศก์เซนติเมตร



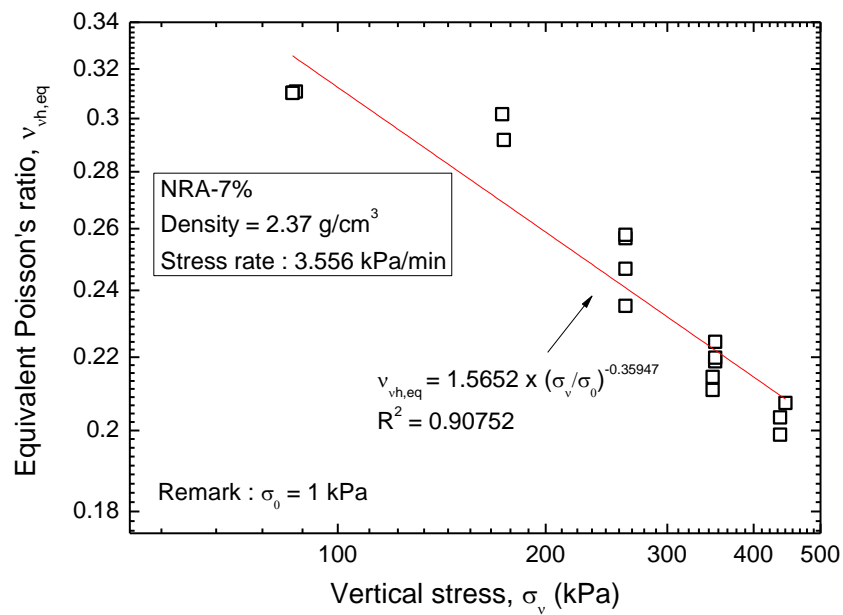
รูปที่ 4.34 ความสัมพันธ์ระหว่างโมดูลัสอีลาสติกสมมูลย์ และความเค้นแนวตั้งของแอสฟัลต์ผสมยางพารา 7 % ที่ความหนาแน่นเท่ากับ 2.37 กรัม/ลูกบาศก์เซนติเมตร



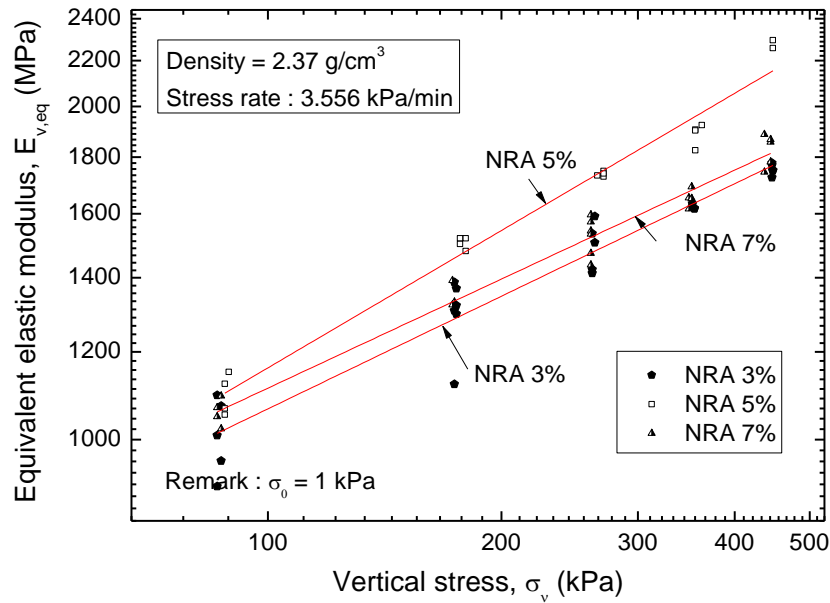
รูปที่ 4.35 ความสัมพันธ์ระหว่างอัตราส่วนปัวซองของสมมูลย์ และความเค้นแนวตั้งของแอสฟัลต์ผสมยางพารา 3 % ที่ความหนาแน่นเท่ากับ 2.37 กรัม/ลูกบาศก์เซนติเมตร



รูปที่ 4.36 ความสัมพันธ์ระหว่างอัตราส่วนปัวซองของสมมูล และความเค้นแนวตั้งของแอสฟัลต์ผสมยางพารา 5 % ที่ความหนาแน่นเท่ากับ 2.37 กรัม/ลูกบาศก์เซนติเมตร

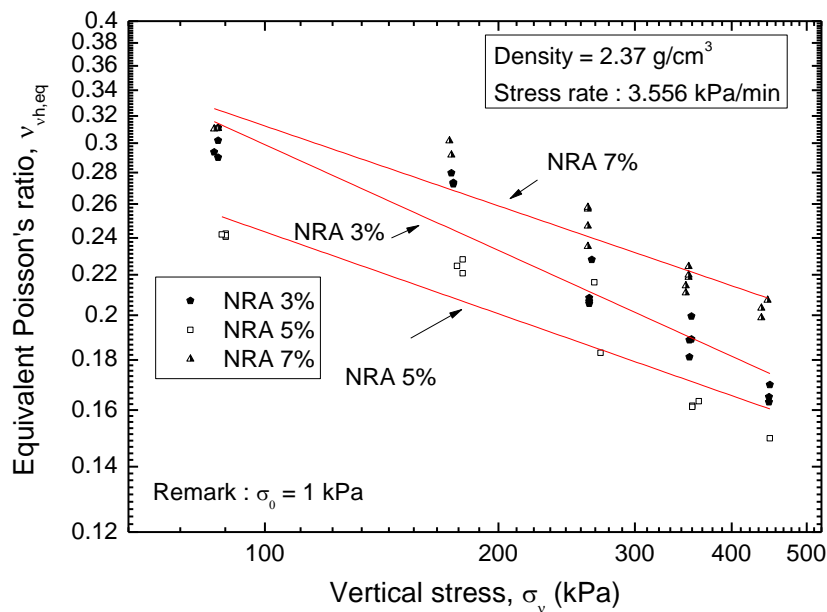


รูปที่ 4.37 ความสัมพันธ์ระหว่างอัตราส่วนปัวซองของสมมูล และความเค้นแนวตั้งของแอสฟัลต์ผสมยางพารา 7 % ที่ความหนาแน่นเท่ากับ 2.37 กรัม/ลูกบาศก์เซนติเมตร



รูปที่ 4.38 ความสัมพันธ์ระหว่างโมดูลัสอีลาสติคสมมูลย์ และความเค้นแนวตั้งของแอสฟัลต์ผสมยางพาราที่ความหนาแน่นเท่ากับ 2.37 กรัม/ลูกบาศก์เซนติเมตร

จากรูปที่ 4.38 สามารถสรุปได้ว่าค่าโมดูลัสอีลาสติคสมมูลย์ของแอสฟัลต์ผสมยางพาราที่ 5 % มีค่ามากที่สุดรองลงมาคือ 7 % และ 3 % ซึ่งสอดคล้องกับผลการทดสอบการรับแรงอัดคือตัวอย่างที่มีกำลังรับแรงอัดสูงค่าโมดูลัสอีลาสติคสมมูลย์ก็จะสูงขึ้นด้วย



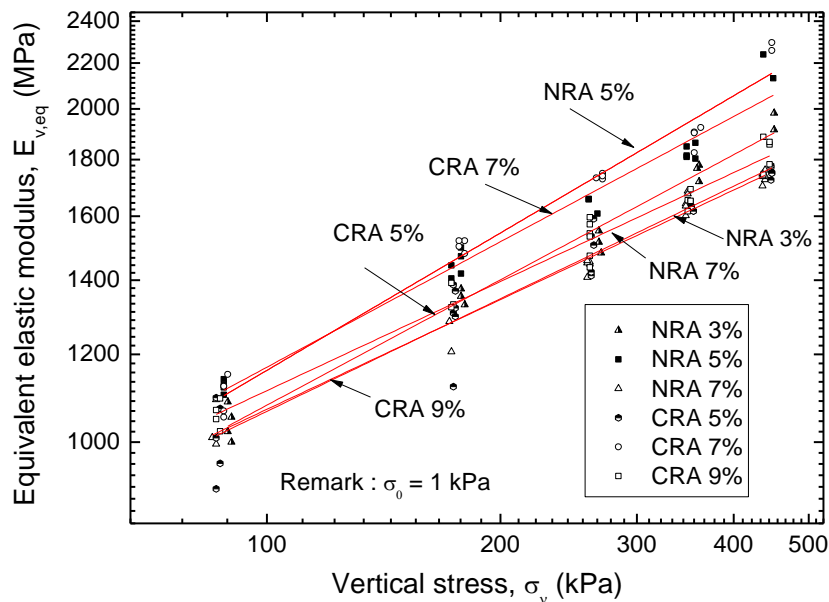
รูปที่ 4.39 ความสัมพันธ์ระหว่างอัตราส่วนปัวซองของสมมูลย์ และความเค้นแนวตั้งของแอสฟัลต์ผสมยางพาราที่ทำกรบอัดในแนวตั้งและมีความหนาแน่นเท่ากับ 2.37 กรัม/ลูกบาศก์เซนติเมตร

จากรูปที่ 4.39 สามารถสรุปได้ว่าค่าอัตราส่วนปัวของสมมูลย์ของแอสฟัลต์ผสมยางพาราที่ 5 % มีค่าน้อยที่สุดรองลงมาคือ 3 % และ 7 % ซึ่งสอดคล้องกับผลการทดสอบการรับแรงอัดคือตัวอย่างที่มีกำลังรับแรงอัดสูงค่าอัตราส่วนปัวของสมมูลย์ก็จะลดลงด้วย

จากการทดสอบแอสฟัลต์ผสมยางพาราสามารถสรุปได้ดังนี้คือ

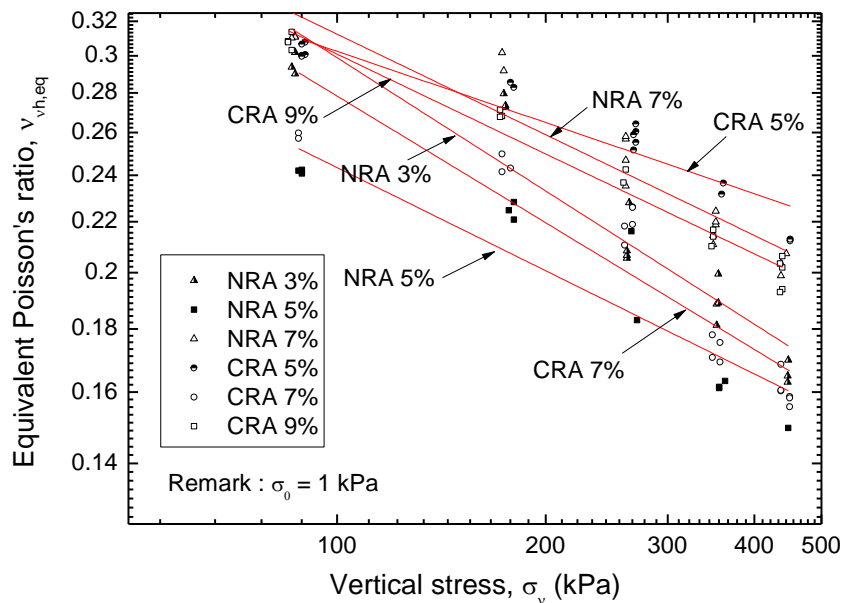
- ค่าโมดูล่าโมดูลัสอีลาสติคสมมูลย์ของแอสฟัลต์ผสมยางพาราที่ได้จากการทดสอบการให้แรงกระทำซ้ำเป็นรอบจากการวิจัยในครั้งนี้จะมีค่าเพิ่มขึ้นตามความเค้นกล่าวคือค่าโมดูลัสอีลาสติคสมมูลย์จะแปรผันตรงกับความเค้นในการทดสอบ
- ค่าอัตราส่วนปัวของสมมูลย์จากการทดสอบการให้แรงกระทำซ้ำจะมีค่าลดลงตามความเค้นในแนวตั้งกล่าวคือเมื่อมีการเพิ่มความเค้นในแนวตั้งค่าอัตราส่วนปัวของสมมูลย์ก็จะลดลงเช่นกัน
- ค่าเปอร์เซ็นต์ส่วนผสมที่ดีที่สุดของแอสฟัลต์ผสมยางพารา คือ 5 %

4.4.2.3 ผลการเปรียบเทียบค่าโมดูลัสสมมูลย์ (Equivalent modulus) และอัตราส่วนปัวของ (Poisson’s ratio) ของแอสฟัลต์คอนกรีตผสมยางพาราและแอสฟัลต์คอนกรีตผสมเศษยางรถยนต์



รูปที่ 4.40 ความสัมพันธ์ระหว่างโมดูลัสอีลาสติคสมมูลย์และความเค้นแนวตั้งสำหรับแอสฟัลต์ผสมยางพาราและแอสฟัลต์ผสมยางรถยนต์ที่ความหนาแน่นเท่ากับ 2.37 กรัม/ลูกบาศก์เซนติเมตร

จากรูปที่ 4.40 จะเห็นได้ว่าค่าโมดูลัสอีลาสติคสมมูลย์ของ NRA 5 % มีค่าที่มากที่สุดรองลงมาคือ CRA 7 %, CRA 5 % ,NRA 7 %, NRA 3 % และ CRA 9 % ตามลำดับแต่ค่า CRA 5 % และ NRA 7 % มีค่าที่ใกล้เคียงกันมากช่วงแรกค่า NRA 7 % จะมีค่ามากกว่าแต่ช่วงหลัง CRA 5 % จะมีค่ามากกว่าแทนและค่า NRA 3 % และ NRA 9 % มีค่าที่ใกล้เคียงกันมากทั้งช่วง ส่วนค่าโมดูลัสสมมูลย์จะมีค่าเพิ่มขึ้นเมื่อค่าความเค้นเพิ่มขึ้น ซึ่งแตกต่างกับค่าอัตราส่วนปัวซองจะมีค่าลดลงเมื่อมีการเพิ่มความเค้นเพิ่มขึ้น



รูปที่ 4.41 ความสัมพันธ์ระหว่างอัตราส่วนปัวซองของสมมูลย์และความเค้นแนวตั้งสำหรับแอสฟัลต์ผสมยางพาราและแอสฟัลต์ผสมยางรถยนต์ที่ความหนาแน่นเท่ากับ 2.37 กรัม/ลูกบาศก์เซนติเมตร

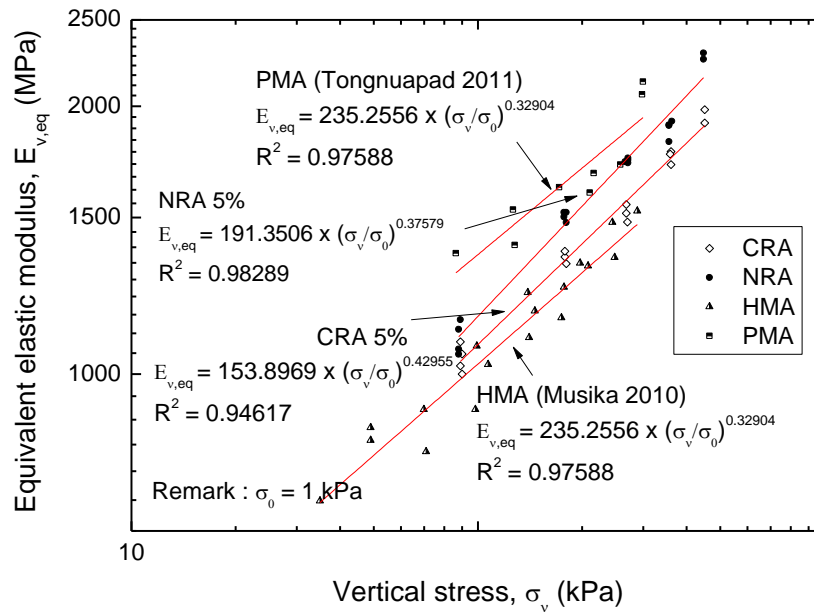
จากรูปที่ 4.41 จะเห็นได้ว่าค่าอัตราส่วนปัวซองของสมมูลย์ของ NRA 5 %, CRA 7 %, NRA 3 %, CRA 9 %, NRA 7 % และ CRA 5 % ตามลำดับแต่ค่า CRA 5 % ช่วงแรกจะมีค่าที่น้อยแต่ช่วงหลังจะมีค่าที่มากกว่า

จากการทดสอบที่ผ่านมาสามารถสรุปได้ดังนี้คือ

- ค่าโมดูลัสสมมูลย์สำหรับทุกตัวอย่างจะมีค่าเพิ่มขึ้นเมื่อค่าความเค้นทั้งในแนวตั้งเพิ่มขึ้น ซึ่งแตกต่างกับค่าอัตราส่วนปัวซองสำหรับตัวอย่างที่มีการบดอัดในแนวตั้งจะมีค่าลดลงเมื่อมีการเพิ่มความเค้นทั้งในแนวตั้ง
- ความสัมพันธ์ระหว่างความเค้นและความเครียดจะมีพฤติกรรมอีลาสติกในช่วงเริ่มต้น (ช่วงที่ความเครียดมีค่าน้อย) สำหรับทุกความหนาแน่นที่ทดสอบ

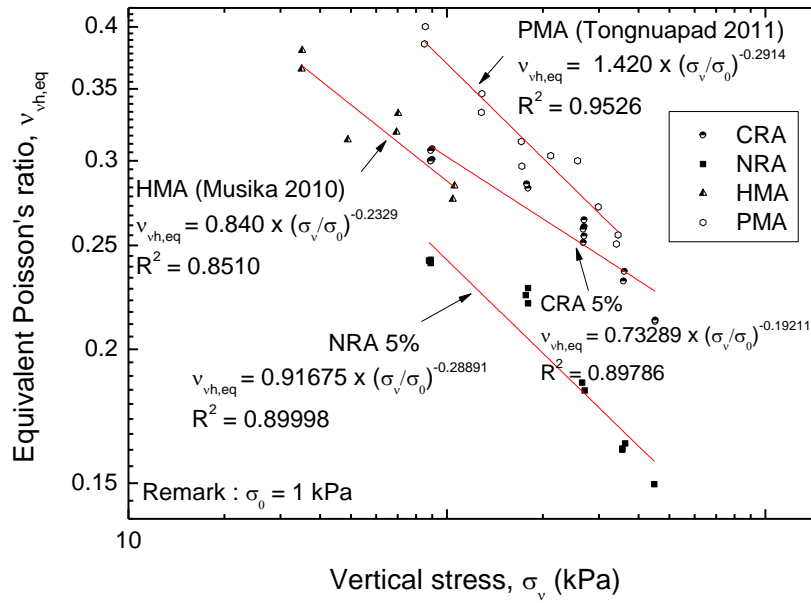
- ค่าเปอร์เซ็นต์การผสมที่มีค่าดีที่สุดสำหรับ NRA คือ NRA ที่ 5% ซึ่งเท่ากับเปอร์เซ็นต์ที่เหมาะสมของสถาบันวิจัยยางที่ได้ศึกษาไว้
- ค่าเปอร์เซ็นต์การผสมที่มีค่าดีที่สุดสำหรับ CRA คือ CRA ที่ 7% ซึ่งใกล้เคียงกับของ Kok และ Colak (2011) ที่ได้ศึกษาเปอร์เซ็นต์ที่เหมาะสมที่ 8 % ซึ่งอาจจะแตกต่างกันที่ตัวเศษของยางรถยนต์และเกรดของแอสฟัลต์
- ค่าของแอสฟัลต์ผสมยางพารามีค่าที่ดีกว่าแอสฟัลต์ผสมเศษยางรถยนต์เพราะอาจจะเกิดจากการที่ยางพาราเมื่อเข้าไปผสมกับแอสฟัลต์จะเกาะกับกับอนุภาคแอสฟัลต์เป็น โครงสร้างรังผึ้ง (Koichi, 2000) ทำให้เกิดความแข็งแรงมากขึ้นส่วนแอสฟัลต์ผสมเศษยางรถยนต์เมื่อเศษยางรถยนต์ไปผสมกับแอสฟัลต์เศษยางรถยนต์จะเกิดการบวมตัวขึ้นและจับตัวกับอนุภาคแอสฟัลต์ (Xiang et al., 2009) เป็นกลุ่มๆขนาดใหญ่และสอดคล้องกับการบวมตัวของแอสฟัลต์ (Francis และ Laurent, 1998) ที่ปรากฏว่าแอสฟัลต์ผสมยางพารามีค่าบวมตัวของอนุภาคที่มากกว่าแอสฟัลต์ผสมเศษยางรถยนต์จึงน่าจะทำให้แอสฟัลต์ผสมเศษยางรถยนต์มีค่าที่มากกว่าหรือเกิดจากที่แอสฟัลต์ผสมเศษยางรถยนต์มีความแข็งแต่เปราะสังเกตได้จากการทดสอบ Ductility ที่มีค่าที่น้อยมากแสดงถึงความแข็งของตัวอย่างแอสฟัลต์ผสมเศษยางรถยนต์ ซึ่งทั้งแอสฟัลต์ผสมยางพาราและแอสฟัลต์ผสมเศษยางรถยนต์มีค่าที่ดีกว่าแอสฟัลต์คอนกรีตธรรมดาซึ่งแอสฟัลต์คอนกรีตจะมีแค่อนุภาคแอสฟัลต์ (Tuntiworawit et al., 2005) ซึ่งเมื่อใส่สารผสมเพิ่มลงไปสารผสมเพิ่มแต่ละชนิดก็จะจับตัวกับอนุภาคแอสฟัลต์และทำให้เกิดโครงสร้างที่แตกต่างกันไปและโครงสร้างเหล่านี้อาจจะไปเพิ่มกำลังให้แก่แอสฟัลต์คอนกรีต

4.4.2.4 ผลการเปรียบเทียบค่าโมดูลัสสมมูล (Equivalent modulus) และอัตราส่วนปัวซอง (Poisson's ratio) ของแอสฟัลต์คอนกรีตผสมยางพารา แอสฟัลต์คอนกรีตผสมเศษยางรถยนต์ แอสฟัลต์คอนกรีตและโพลิเมอร์โมดิฟายด์แอสฟัลต์



รูปที่ 4.42 ความสัมพันธ์ระหว่าง โมดูลัสอีลาสติกสมมูลและ ความเค้นแนวตั้งสำหรับแอสฟัลต์ผสมยางพารา แอสฟัลต์ผสมยางรถยนต์ แอสฟัลต์คอนกรีตและ โพลิเมอร์โมดิฟายด์แอสฟัลต์ที่ความหนาแน่นเท่ากับ 2.37 กรัม/ลูกบาศก์เซนติเมตร

จากรูปที่ 4.42 สามารถสรุปได้ว่าค่าโมดูลัสอีลาสติกสมมูลของ PMA และ NRA 5 % มีค่าที่ใกล้เคียงกันแต่ในช่วงแรก NRA 5 % จะค่าน้อยกว่าแต่ก็เริ่มมีค่าเพิ่มมากขึ้นเรื่อยๆจนกระทั่งมีค่ามากกว่าและ CRA 5 % มีค่ารองลงมาส่วน HMA จะมีค่าน้อยที่สุด

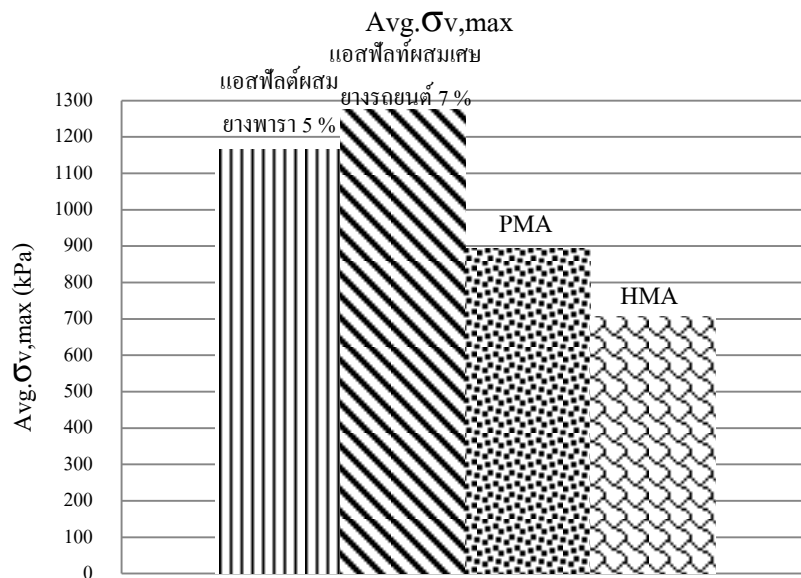


รูปที่ 4.43 ความสัมพันธ์ระหว่างอัตราส่วนปัวซองของสมมูลและความเค้นแนวตั้งสำหรับแอสฟัลต์ผสมยางพารา แอสฟัลต์ผสมยางรถยนต์ แอสฟัลต์คอนกรีตและ โมลิเมอร์ โมดิไฟด์แอสฟัลต์ที่ความหนาแน่นเท่ากับ 2.37 กรัม/ลูกบาศก์เซนติเมตร

จากรูปที่ 4.43 สามารถสรุปได้ว่าค่า NRA 5 % มีค่าอัตราส่วนปัวซองของสมมูลที่น้อยที่สุดรองลงมาคือ CRA 5 % ส่วน PMA จะมีค่ามากที่สุด

4.5 ผลการเปรียบเทียบกับแอสฟัลต์คอนกรีต (HMA) และโพลิเมอร์โมดิฟายด์แอสฟัลต์คอนกรีต (PMA) ที่เปอร์เซ็นต์การผสมเดียวกัน

4.5.1 ผลการเปรียบเทียบความเค้นสูงสุด



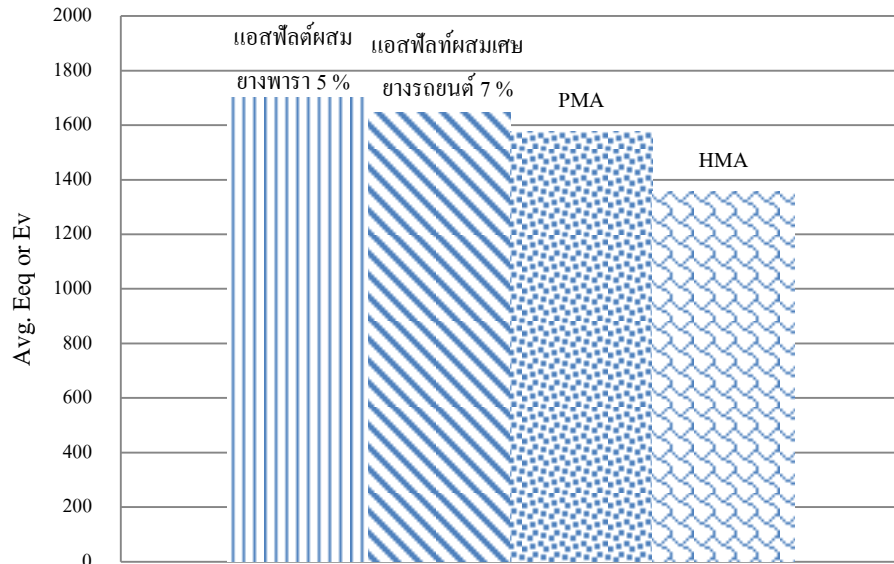
รูปที่ 4.44 ความสัมพันธ์ระหว่างความเค้นและความเครียด

จากรูปที่ 4.44 สามารถสรุปได้ว่าแอสฟัลต์ผสมเศษยางรถยนต์ 7 % มีค่ากำลังของวัสดุมากที่สุด แอสฟัลต์ผสมยางพารา 5 %, PMA ตามลำดับทั้ง CRA 7 % และ NRA 5 % จะมีค่าที่ใกล้เคียงกัน แตกต่างกันไม่มากนัก HMA มีค่าน้อยที่สุดและแตกต่างกันพอสมควร

4.5.2 ผลการเปรียบเทียบการให้แรงกระทำซ้ำ

4.5.2.1 ผลการเปรียบเทียบค่าอีลาสติคสมมูลย์ (E_{eq}, E_v)

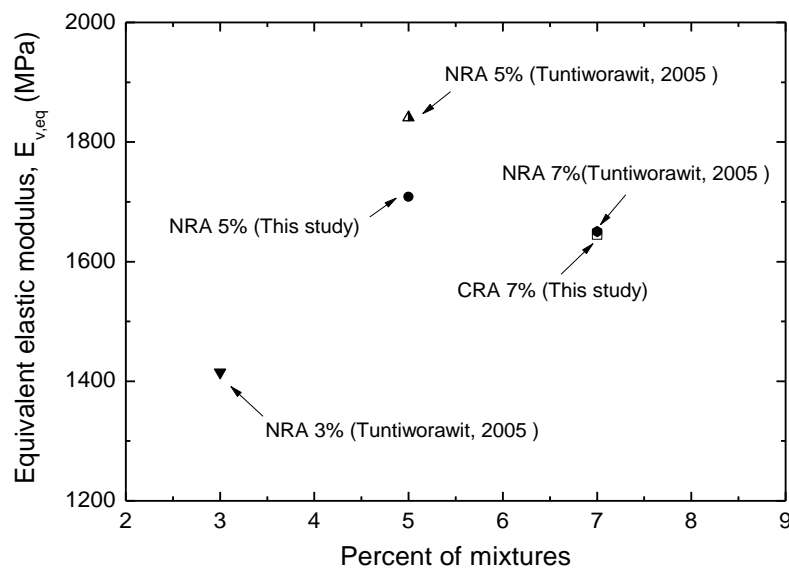
Avg. E_{eq} or E_v



รูปที่ 4.45 ค่า E_{eq} หรือ E_v ที่เปรียบเทียบกัน

จากรูปที่ 4.45 สามารถสรุปได้คือ ได้ค่า E_{eq} หรือ E_v ของแอสฟัลต์ผสมยางพารา 5 % มีค่ามากที่สุด PMA, แอสฟัลต์ผสมเศษยางรถยนต์ 5 %, และ HMA ตามลำดับ

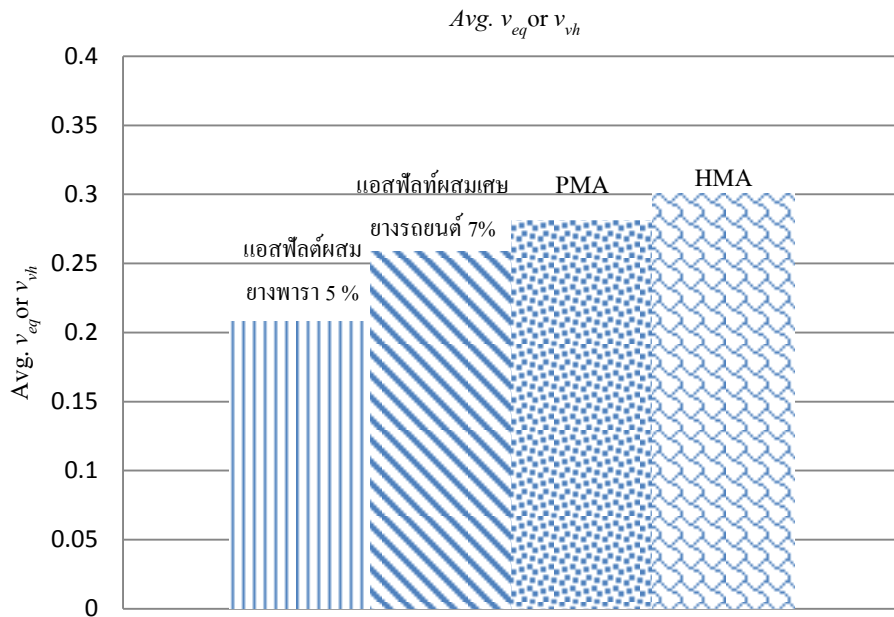
ผลการเปรียบเทียบกับผลการทดสอบกับค่า Resilient Modulus ของ (Tuntiworawit et al., 2005) แสดงในรูปที่ 4.46



รูปที่ 4.46 ค่า E_{eq} ที่เปรียบเทียบกับค่า Resilient Modulus

จากรูปที่ 4.46 จะเห็นได้ว่าค่า NRA 5% ของการทดสอบครั้งนี้มีค่าน้อยกว่าค่า NRA 5 % ของ (Tuntiworawit et al., 2005) เล็กน้อยอาจเกิดจากที่ของ (Tuntiworawit et al., 2005) ให้แรงที่กระทำ 15 % ของ IDT และการให้ Rate ที่ไม่เท่ากันโดยแบ่งเป็นช่วงเวลาที่มีการกดน้ำหนักลงบนก้อนตัวอย่าง 0.1 วินาทีและช่วงเวลาพัก 0.9 วินาทีและจะหยุดการทดสอบการกดรอบที่ 150 และค่าโมดูลัสจะได้ จากค่าเฉลี่ยของ 5 ค่าสุดท้าย

4.5.2.2 ผลการเปรียบเทียบค่าตัวของ (V_{eq}, V_{vh})



รูปที่ 4.47 ค่า v_{eq} หรือ v_{vh} ที่เปรียบเทียบกัน

จากรูปที่ 4.47 สามารถสรุปได้คือ v_{eq} หรือ v_{vh} ได้ค่า ของแอสฟัลต์ผสมยางพารา 5 % มีค่ามากที่สุด แอสฟัลต์ผสมยางรถยนต์ 5 %, PMA และ HMA ตามลำดับ แอสฟัลต์ประเภทที่มีค่า v_{vh} มาก คือ เกิดการเสียรูปด้านข้างที่มากกว่าแอสฟัลต์ประเภทอื่น

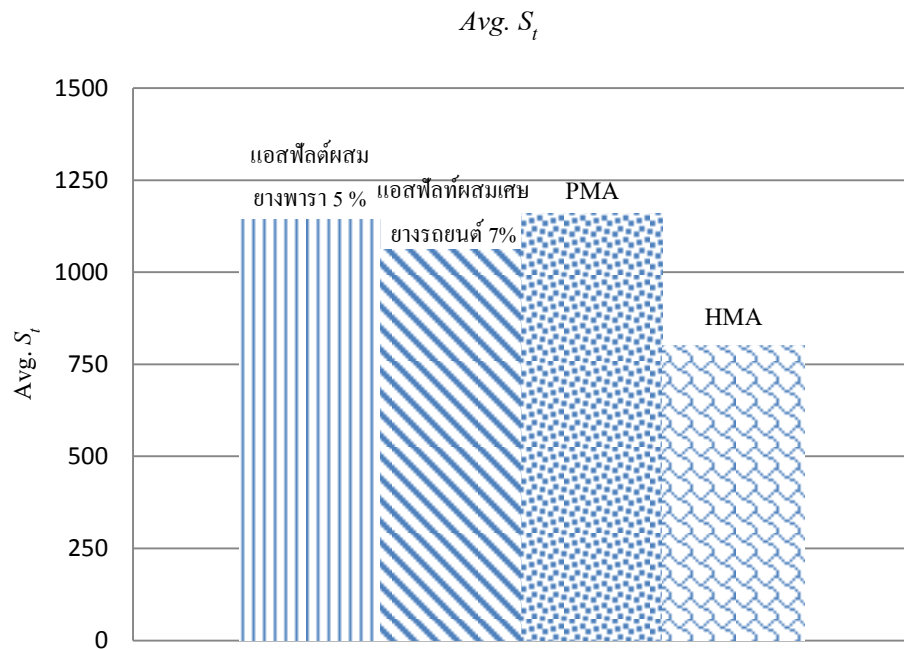
4.6 ผลการทดสอบ Indirect tensile test

ทำการทดสอบ Indirect tensile test ของแอสฟัลต์ทั้ง 4 ชนิดคือ แอสฟัลต์คอนกรีต โพลีเมอร์ โมดิฟายด์แอสฟัลต์ แอสฟัลต์คอนกรีตผสมยางพารา แอสฟัลต์คอนกรีตผสมเศษยางรถยนต์ ชนิดละ 3 ตัวอย่าง บดอัดที่ความหนาแน่น 2.37 กรัม/ลูกบาศก์เซนติเมตรผลการทดสอบดังตารางที่ 4.5

ตารางที่ 4.5 ผลการทดสอบ Indirect tensile test

Test name	Density (g/cm ³)			Indirect tensile strength, St (kPa)		
	ρ_{target}	$\rho_{measure}$	$\rho_{avg.}$	Load (N)	St	St _{avg.}
AC 60/70 - 01	2.37	2.3	2.293	11,450	916.2012	801.7951
AC 60/70 - 02		2.29		8,123	650.6206	
AC 60/70 - 03		2.29		10,230	838.5635	
PMA - 01		2.30	2.31	14431	1160.885	1159.895
PMA - 02		2.31		14122	1134.457	
PMA - 03		2.32		14743	1184.342	
CRA 7% - 01		2.29	2.297	13787	1068.629	1062.001
CRA 7% - 02		2.297		13413	1068.829	
CRA 7% - 03		2.306		13154	1048.544	
NRA 5% - 01		2.311	2.31	14675	1139.988	1142.827
NRA 5% - 02		2.307		14614	1133.061	
NRA 5% - 03		2.313		14738	1155.432	

จากตารางที่ 4.5 สามารถสรุปได้ว่าค่า Indirect tensile strength เฉลี่ยของโพลีเมอร์ โมดิฟายด์แอสฟัลต์ มีค่าที่มากที่สุดรองลงมาคือ แอสฟัลต์คอนกรีตผสมยางพารา แอสฟัลต์คอนกรีตผสมเศษยางรถยนต์ และแอสฟัลต์คอนกรีตดังรูปที่ 4.48



รูปที่ 4.48 ค่า Indirect tensile strength ที่เปรียบเทียบกัน

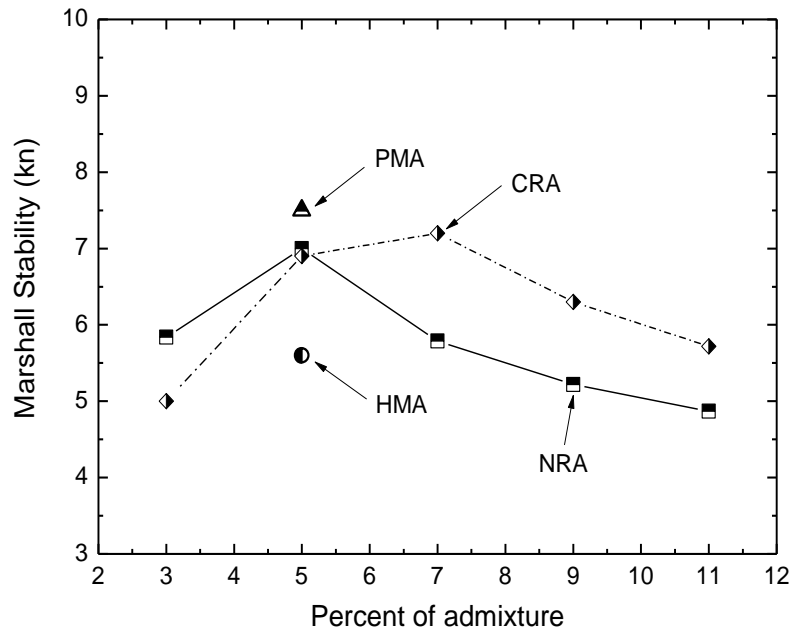
4.7 ผลการทดสอบ Marshall test

ทำการทดสอบ Marshall test ตามมาตรฐาน ทล.ท. 604/2517 ทำการบดอัดจำนวน 50 ครั้งสำหรับการจราจรชั้น light traffic และ medium traffic ทำการทดสอบแอสฟัลต์ทั้ง 4 ชนิดคือ แอสฟัลต์คอนกรีต โพลีเมอร์โมดิไฟด์แอสฟัลต์ แอสฟัลต์คอนกรีตผสมยางพารา แอสฟัลต์คอนกรีตผสมเสย ยางรถยนต์ ผลการทดสอบดังตารางที่ 4.6

ตารางที่ 4.6 ผลการทดสอบ Marshall test

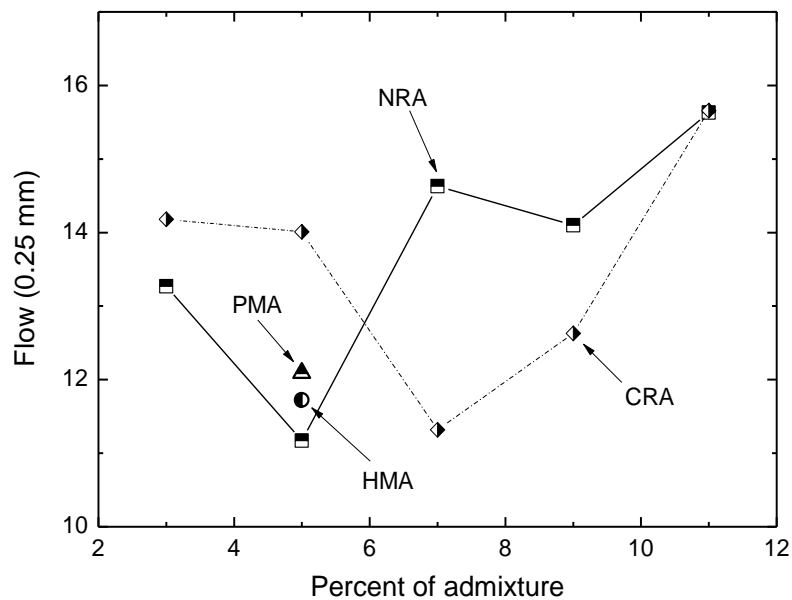
ส่วนผสม แอสฟัลต์คอนกรีต	Marshall Stability (kN)	Marshall Flow (0.25 mm)	VMA (%)	Air void (%)
HMA				
5 % of HMA	5.6	12.09	21.178	11.943
PMA				
5 % of PMA	7.5	11.72	22.367	13.270
AC 60 -70 + Natural Rubber (NRA)				
3 % of AC 60-70 + Natural Rubber	5.84	13.27	24.342	15.628
5 % of AC 60-70 + Natural Rubber	7	11.17	21.037	12.029
7 % of AC 60-70 + Natural Rubber	5.79	14.63	23.959	15.444
9 % of AC 60-70 + Natural Rubber	5.22	14.10	26.710	17.995
11 % of AC 60-70 + Natural Rubber	4.87	15.63	24.075	15.127
AC 60 -70 + Crumb Rubber (CRA)				
3 % of AC 60-70 + Crumb Rubber	5	14.18	18.98	9.532
5 % of AC 60-70 + Crumb Rubber	6.9	14.01	21.867	13.068
7 % of AC 60-70 + Crumb Rubber	7.2	11.32	22.950	14.321
9 % of AC 60-70 + Crumb Rubber	6.3	12.63	23.201	14.695
11 % of AC 60-70 + Crumb Rubber	5.72	15.66	25.085	15.264

จากตารางที่ 4.6 สามารถสรุปค่าเฉลี่ยของค่า Stability และค่า Flow ได้ดังรูปที่ 4.49 และ 4.50



รูปที่ 4.49 ผลการทดสอบค่า Marshall Stability

จากรูปที่ 4.49 สามารถสรุปได้ว่าค่า Stability ของโพลิเมอร์โมดิฟายด์แอสฟัลต์มีค่าที่มากที่สุด รองลงมาคือแอสฟัลต์คอนกรีตผสมเศษยางรถยนต์ที่ 7 % และแอสฟัลต์คอนกรีตผสมยางพาราที่ 5 % ตามลำดับ



รูปที่ 4.50 ผลการทดสอบค่า Marshall Flow

จากรูปที่ 4.50 สามารถสรุปได้ว่าค่า Flow ของแอสฟัลต์คอนกรีตผสมยางพาราที่ 5 % มีค่าน้อยที่สุด เพิ่มขึ้นมาคือแอสฟัลต์คอนกรีตผสมเศษยางรถยนต์ที่ 7 % และโพลิเมอร์โมดิฟายด์แอสฟัลต์ ตามลำดับ

4.8 การเปรียบเทียบเชิงเศรษฐศาสตร์

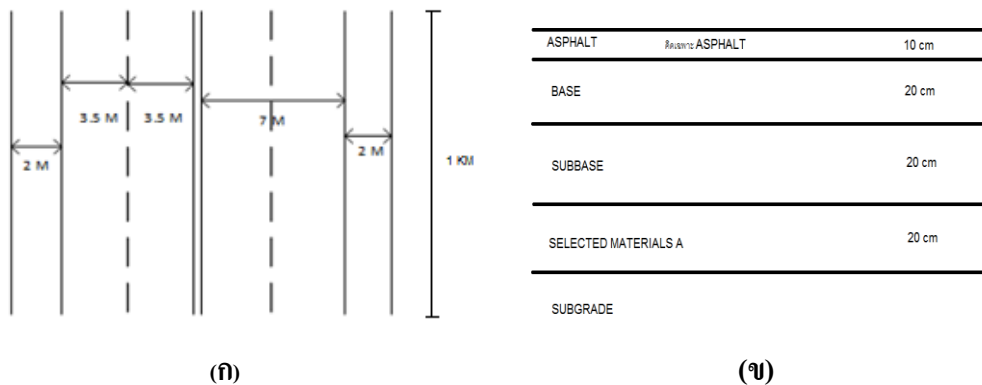
4.8.1 การเปรียบเทียบด้านราคาการก่อสร้าง

การเปรียบเทียบครั้งนี้จะเปรียบเทียบระหว่างถนนที่สร้างด้วยแอสฟัลต์ AC 60/70 ถนนที่สร้างด้วยแอสฟัลต์โพลิเมอร์โมดิฟายด์แอสฟัลต์ (PMA) ถนนที่สร้างด้วยแอสฟัลต์ผสมยางพาราและถนนที่สร้างด้วยแอสฟัลต์ผสมเศษยางรถยนต์ โดยใช้อัตรากรรมผสมแอสฟัลต์ต่อมวลรวมที่ 5 % โดยคิดความยาวถนน 1 กิโลเมตร กำหนดราคาแอสฟัลต์คอนกรีต 60/70 เท่ากับ 35530 บาทต่อตัน(อ้างอิง: บริษัท ทิปโก้แอสฟัลต์ จำกัด ราคาประจำเดือน กันยายน 2556) ราคา PMA ราคาตันละ 43,735 บาท (อ้างอิง: บริษัท ทิปโก้แอสฟัลต์ จำกัด ราคาประจำเดือน กันยายน 2556) ราคาน้ำยางพารา กิโลกรัมละ 68 บาท (อ้างอิง: ราคาประมูล ตลาดกลางยางพาราสุราษฎร์ธานี วันที่ 28 มีนาคม 2557) ราคาเศษยางรถยนต์ กิโลกรัมละ 22 บาท (อ้างอิง: บริษัท ยูเนี่ยนพัฒนา จำกัด ราคาประจำเดือน มีนาคม 2557) ราคาวัสดุตามตารางที่ 4.7

ตารางที่ 4.7 ราคาวัสดุต่อตัน

ประเภทวัสดุ	ราคาวัสดุต่อตัน (บาท)
แอสฟัลต์ 60/70	35,530
PMA	43,735
ยางพารา	68,000
เศษยางรถยนต์	22,000

และลักษณะของถนนที่ทำการเปรียบเทียบเป็นถนน 4 เลน ความกว้าง 18 เมตรยาว 1 กิโลเมตรและคิดเฉพาะชั้นแอสฟัลต์ดังรูปที่ 4.51



รูปที่ 4.51 (ก) Top View (ข) หน้าตัดถนนที่ทำการเปรียบเทียบ

ซึ่งการเปรียบเทียบทางด้านราคาในการศึกษาครั้งนี้จะทำการประเมินราคาแอสฟัลต์เฉพาะการแทนที่ของแอสฟัลต์โดยใช้สารผสมเพิ่มแทนที่ลงไปแอสฟัลต์ AC 60/70 ตามเปอร์เซ็นต์ไม่ได้คิดถึงราคาที่อยู่ขั้นตอนในการผสมและการเปรียบเทียบทางด้านปริมาณผลการเปรียบเทียบดังตารางที่ 4.8

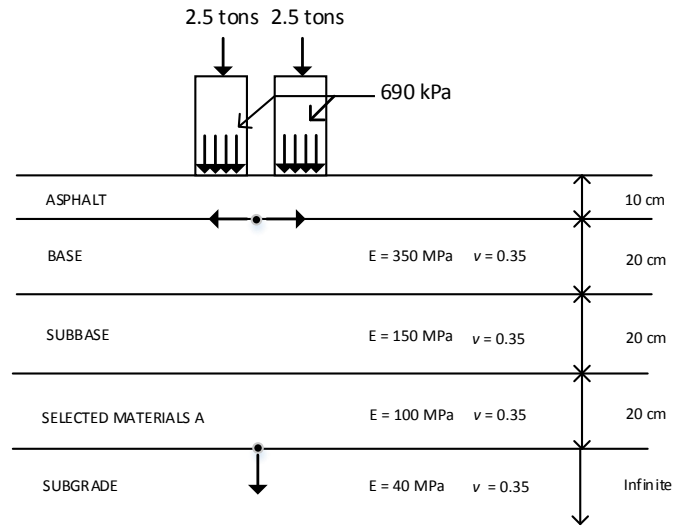
ตารางที่ 4.8 ผลการเปรียบเทียบด้านราคา

ประเภทถนน	ราคาค่าก่อสร้างแอสฟัลต์ต่อกิโลเมตร (บาท)
ถนนที่ใช้ส่วนผสมเป็น AC60/70	3,197,700
ถนนที่ใช้ส่วนผสมเป็น PMA	3,936,150
ถนนที่ใช้ส่วนผสมเป็นยางพารา 5%	3,343,815
ถนนที่ใช้ส่วนผสมเป็นยางรถยนต์ 5%	3,127,815

จากข้อมูลข้างต้นสรุปได้ดังนี้คือราคาของถนนที่ใช้ PMA มีค่าก่อสร้างที่แพงที่สุดรองลงมาคือยางพารา, AC60/70 และเศษยางรถยนต์

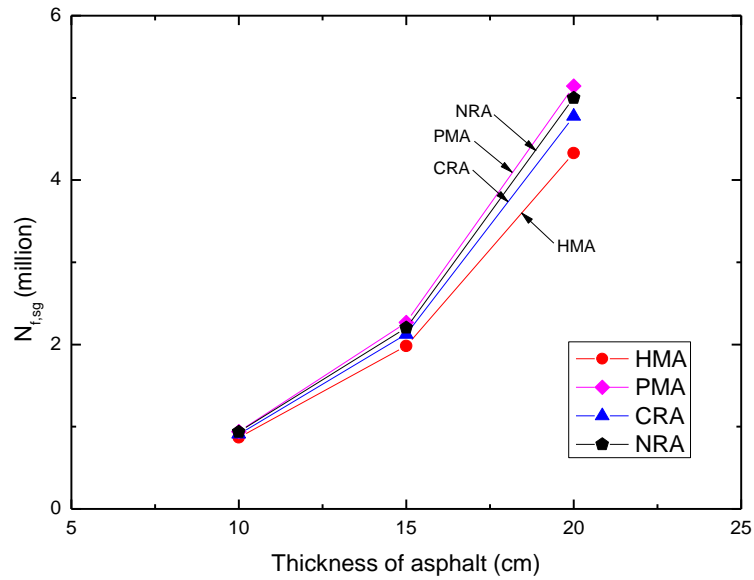
4.8.2 การเปรียบเทียบด้านความทนทาน

การเปรียบเทียบครั้งนี้จะเปรียบเทียบระหว่างถนนที่สร้างด้วยแอสฟัลต์ AC 60/70 ถนนที่สร้างด้วยแอสฟัลต์โพลีเมอร์โมดิฟายด์แอสฟัลต์ (PMA) ถนนที่สร้างด้วยแอสฟัลต์ผสมยางพาราและถนนที่สร้างด้วยแอสฟัลต์ผสมเศษยางรถยนต์ โดยใช้อัตราการผสมแอสฟัลต์ต่อมวลรวมที่ 5 % และให้ความหนาชั้นแอสฟัลต์ 10, 15 และ 20 เซนติเมตรลักษณะถนนและน้ำหนักระทำต่อถนนที่ทำการเปรียบเทียบใช้ตามแบบมาตรฐาน(กรมทางหลวงชนบท, 2556) ตารางการแนะนำการออกแบบของชั้นโครงสร้างทางอายุการใช้งาน 7 ปี ปริมาณการจราจร 1001-1750 คันต่อวัน (ADT) ดังรูปที่ 4.52 ทำการเปรียบเทียบความคงทนถนนโดยใช้โปรแกรม KENPAVE คำนวณ และใช้สูตรการหาจำนวนรอบของกรมทางหลวง 2543 และ Asphalt Institute (9th edition) วิธีการคำนวณอยู่ในภาคผนวก ก

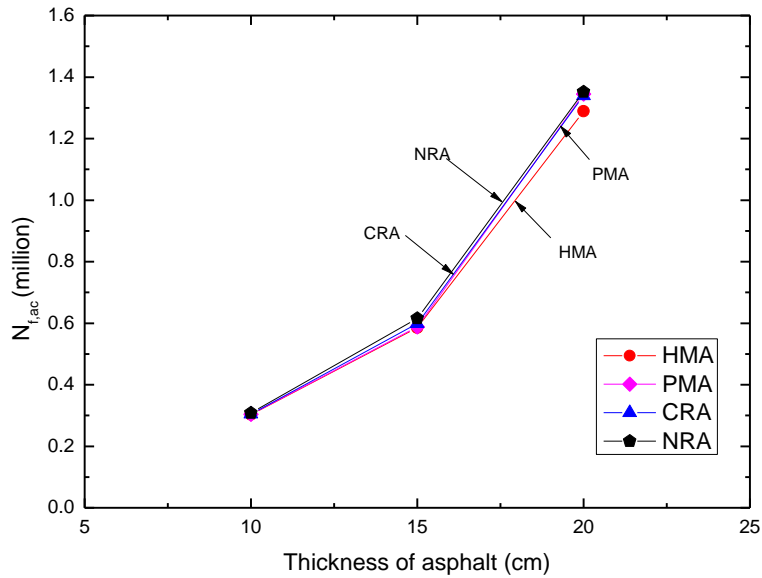


รูปที่ 4.52 ลักษณะถนนและโหลดที่กระทำต่อถนน

ผลการวิเคราะห์โดยใช้โปรแกรม Kenpave แล้วคำนวณหา N_f โดยใช้สูตรของกรมทางหลวงดังรูปที่ 4.53 และใช้สูตรของ Asphalt Institute (9th edition) โดยที่พารามิเตอร์ในการคำนวณมาจากค่าทั่วไปของวัสดุที่ใช้ในงานทาง (Taesiri และ Jitareekul, 2002) ดังรูปที่ 4.54



(ก)

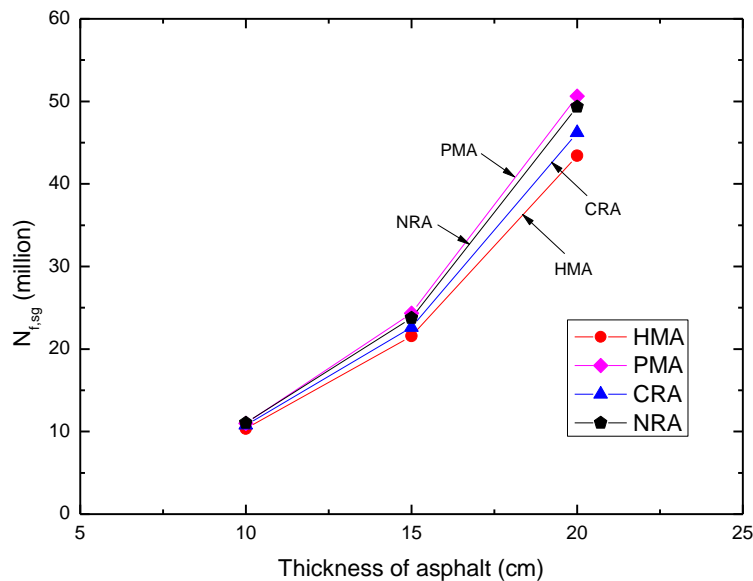


(ข)

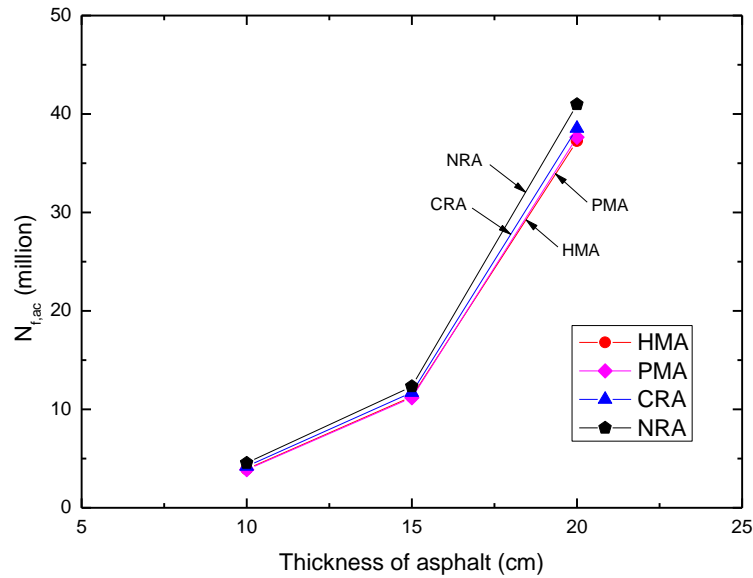
รูปที่ 4.53 ผลการวิเคราะห์โดยใช้โปรแกรม Kenpave โดยใช้สูตรของ Asphalt Institute (9th edition)

(ก) พิจารณาความเครียดที่ชั้น Subgrade (ข) พิจารณาความเครียดที่ชั้น Asphalt

จากรูปที่ 4.53 จะเห็นได้ว่าบนชั้นดินเดิม PMA สามารถรับจำนวนรอบที่มากที่สุดรองลงมาคือ แอสฟัลต์ผสมยางพารา แอสฟัลต์ผสมเศษยางรถยนต์และ HMA ส่วนใต้ชั้นแอสฟัลต์ แอสฟัลต์ผสมยางพารามีค่าจำนวนรอบที่มากที่สุดรองลงมาคือ PMA แอสฟัลต์ผสมเศษยางรถยนต์ และ HMA ดังนั้นสามารถสรุปได้ว่าแอสฟัลต์ผสมยางพารามีความทนทานมากที่สุดรองลงมาคือ PMA แอสฟัลต์ผสมเศษยางรถยนต์ และ AC 60/70 แต่เนื่องจากไม่ได้ทดสอบความถ้ำของแอสฟัลต์ จึงเป็นแค่ตัวเปรียบเทียบในการศึกษาครั้งนี้หรือช่วยลด Strain ทำให้จำนวนรอบเพิ่มขึ้น



(ก)



(จ)

รูปที่ 4.54 ผลการวิเคราะห์โดยใช้โปรแกรม Kenpave โดยใช้สูตรของกรมทางหลวง (ก) พิจารณาความเครียดที่ชั้น Subgrade (ข) พิจารณาความเครียดที่ชั้น Asphalt

จากรูปที่ 4.54 จะเห็นได้ว่าบนชั้นดินเดิม PMA มีค่าจำนวนรอบที่มากที่สุดรองลงมาคือ แอสฟัลต์ผสมยางพารา แอสฟัลต์ผสมเศษยางรถยนต์และ HMA ส่วนใต้ชั้นแอสฟัลต์ผสมยางพารา มีค่าจำนวนรอบที่มากที่สุดรองลงมาคือ PMA แอสฟัลต์ผสมเศษยางรถยนต์และ HMA โดยการพิจารณาชั้นที่มีค่าจำนวนรอบที่น้อยที่สุดนั้นคือ ใต้ชั้นแอสฟัลต์นั้นจึงพบว่าแอสฟัลต์ผสมยางพารา มีความทนทานมากที่สุดรองลงมาคือ PMA แอสฟัลต์ผสมเศษยางรถยนต์ และ AC 60/70 แต่เนื่องจากไม่ได้ทดสอบความล้าของแอสฟัลต์จึงเป็นแค่ตัวเปรียบเทียบในการศึกษาครั้งนี้หรือช่วยลด Strain ทำให้จำนวนรอบเพิ่มขึ้น